

Présentation des résultats des essais : Structure SW2

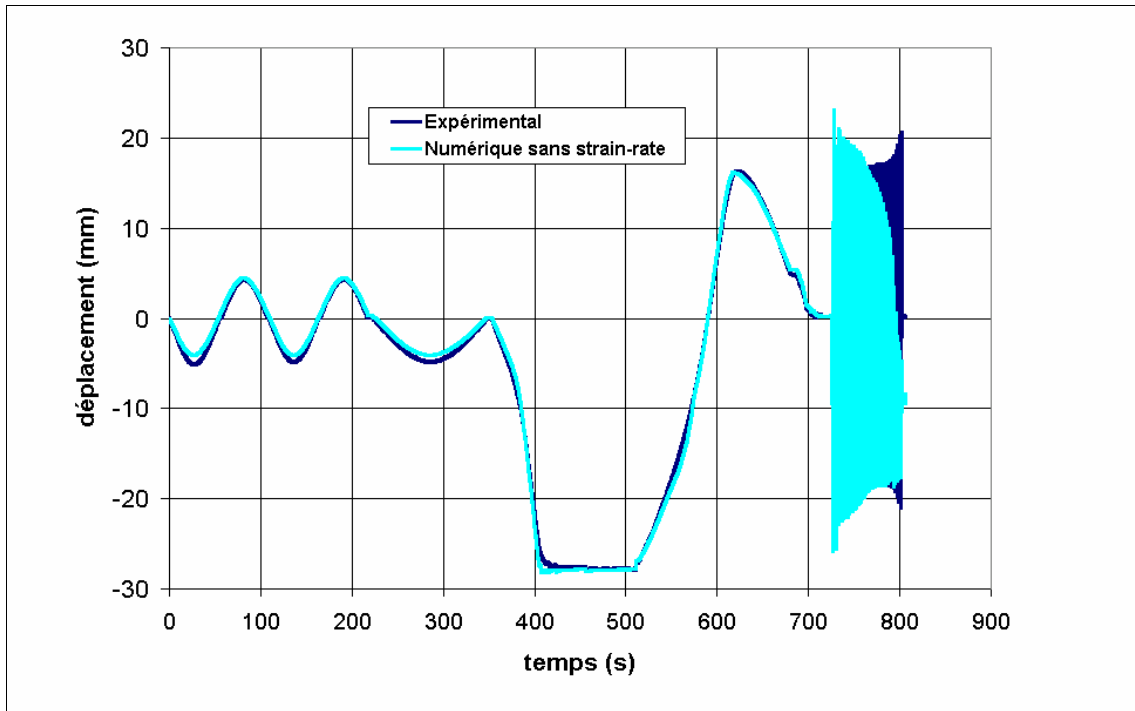


Figure 6.45. Histoire des déplacements de l'extrémité de la poutre - phases statique et dynamique -

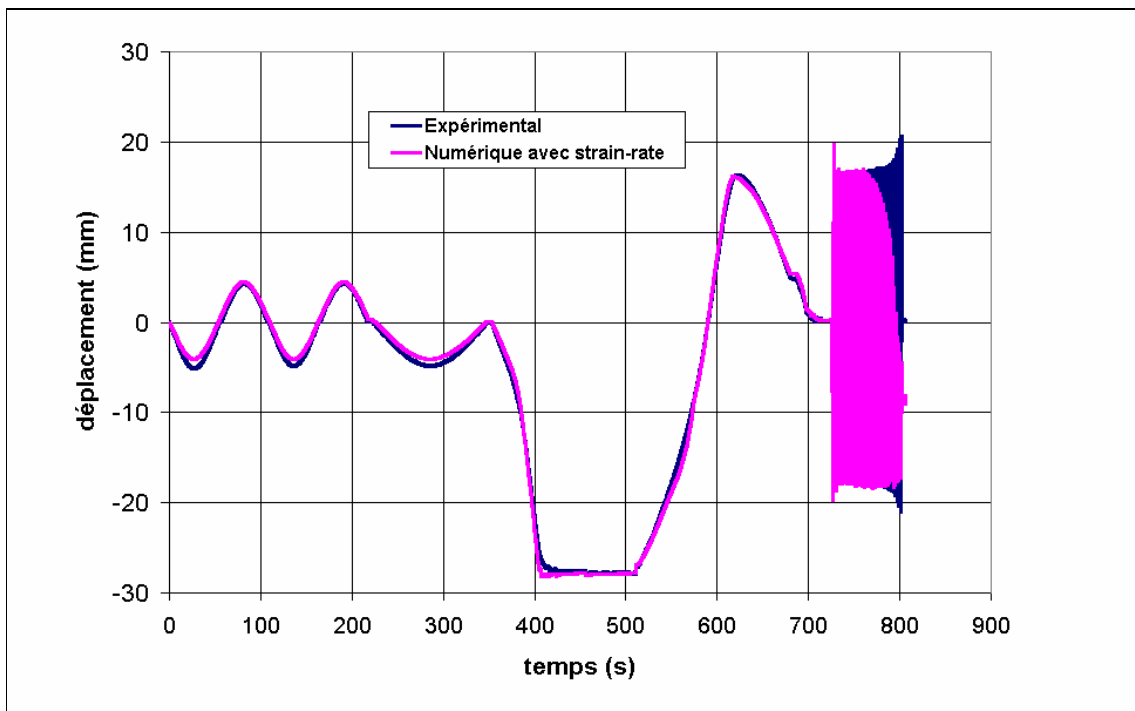


Figure 6.46. Histoire des déplacements de l'extrémité de la poutre - phases statique et dynamique -

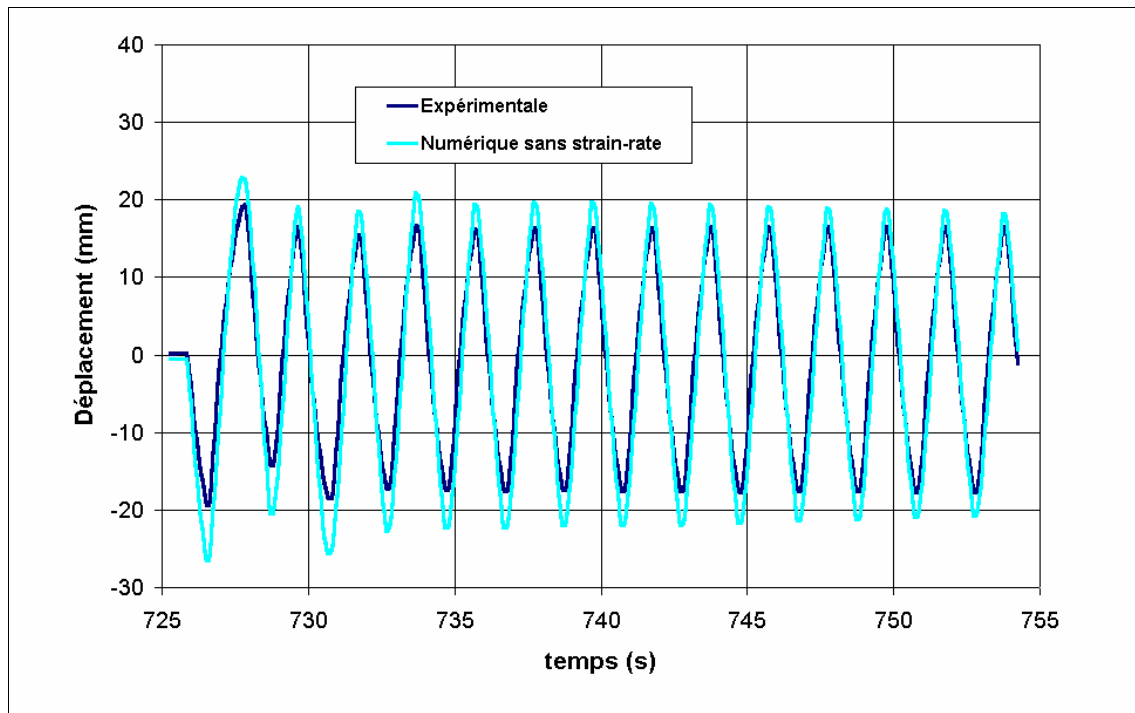


Figure 6.47. Histoire des déplacements de l'extrémité de la poutre
- phase dynamique sans strain rate -

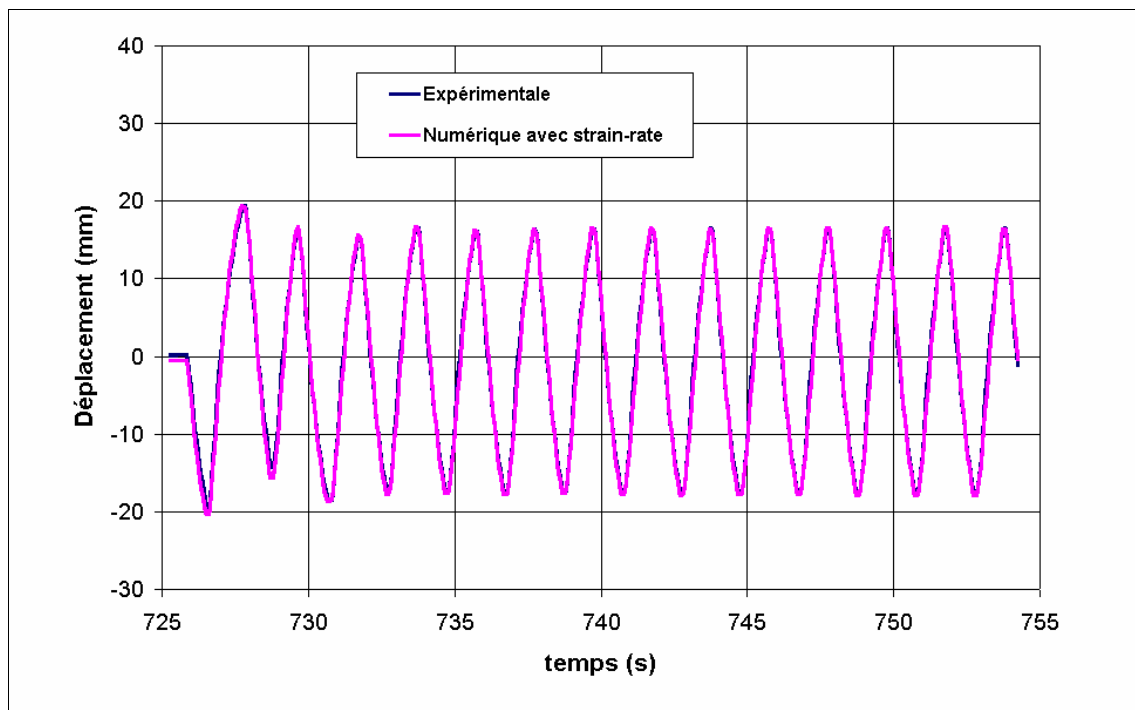


Figure 6.48. Histoire des déplacements de l'extrémité de la poutre
- phase dynamique avec strain rate -

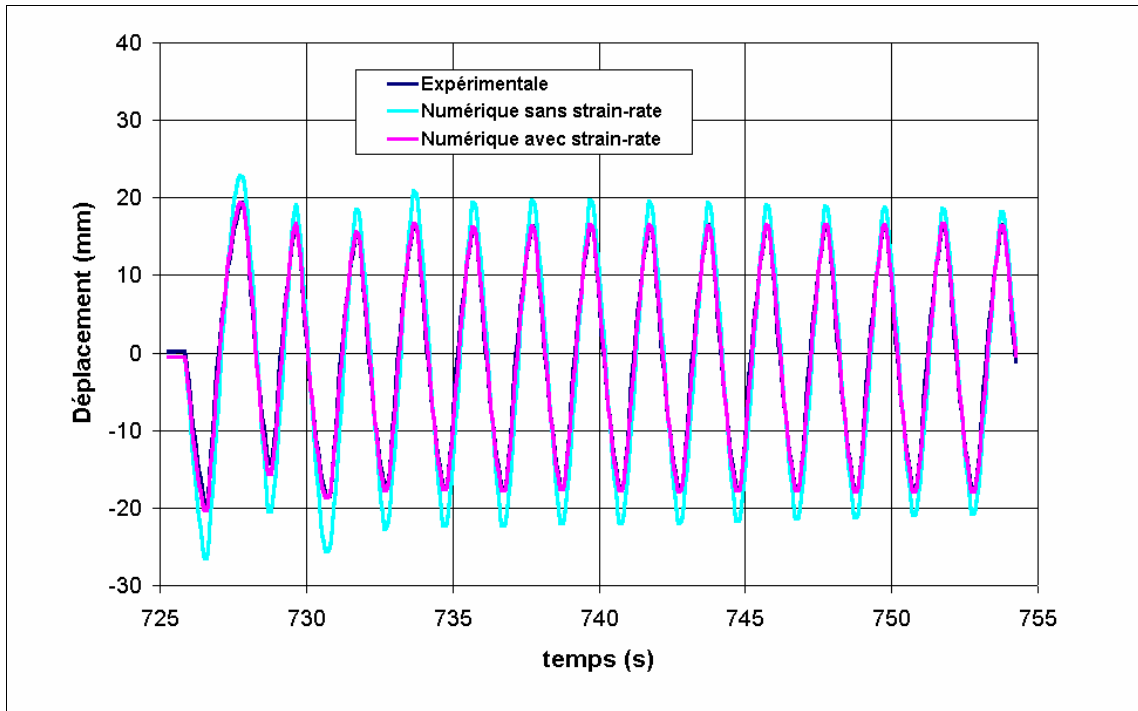


Figure 6.49. Histoire des déplacements de l'extrémité de la poutre - phase dynamique avec et sans strain rate -

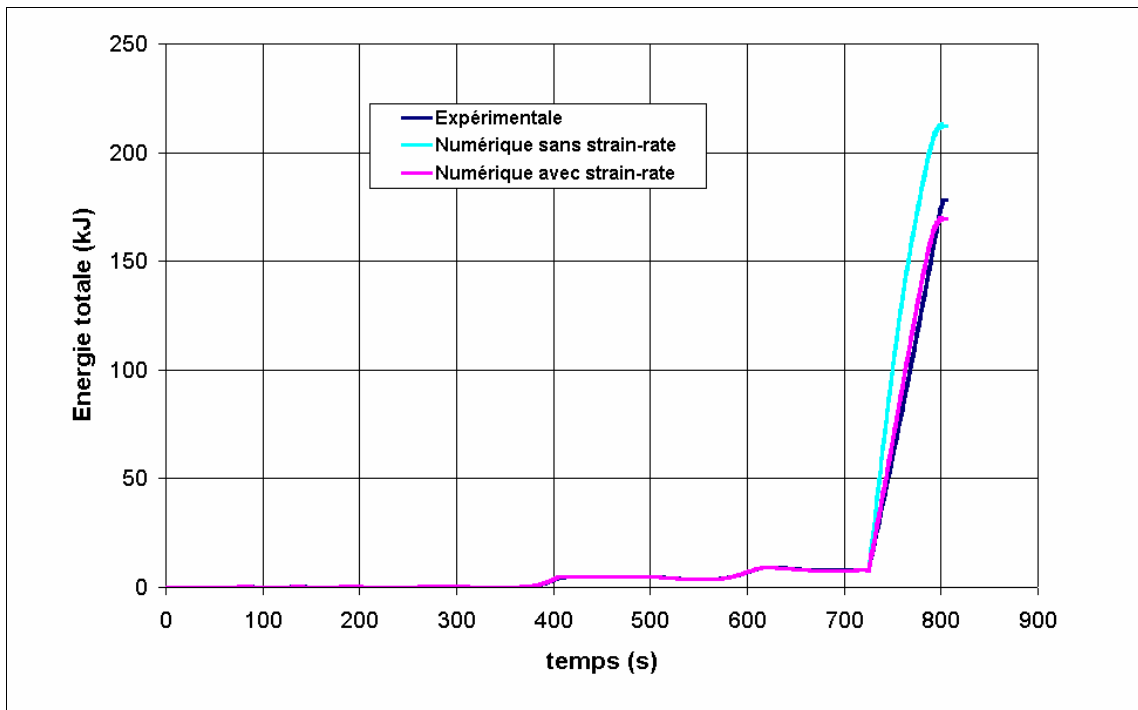


Figure 6.50. Energie totale dissipée cumulative - phases statique et dynamique -

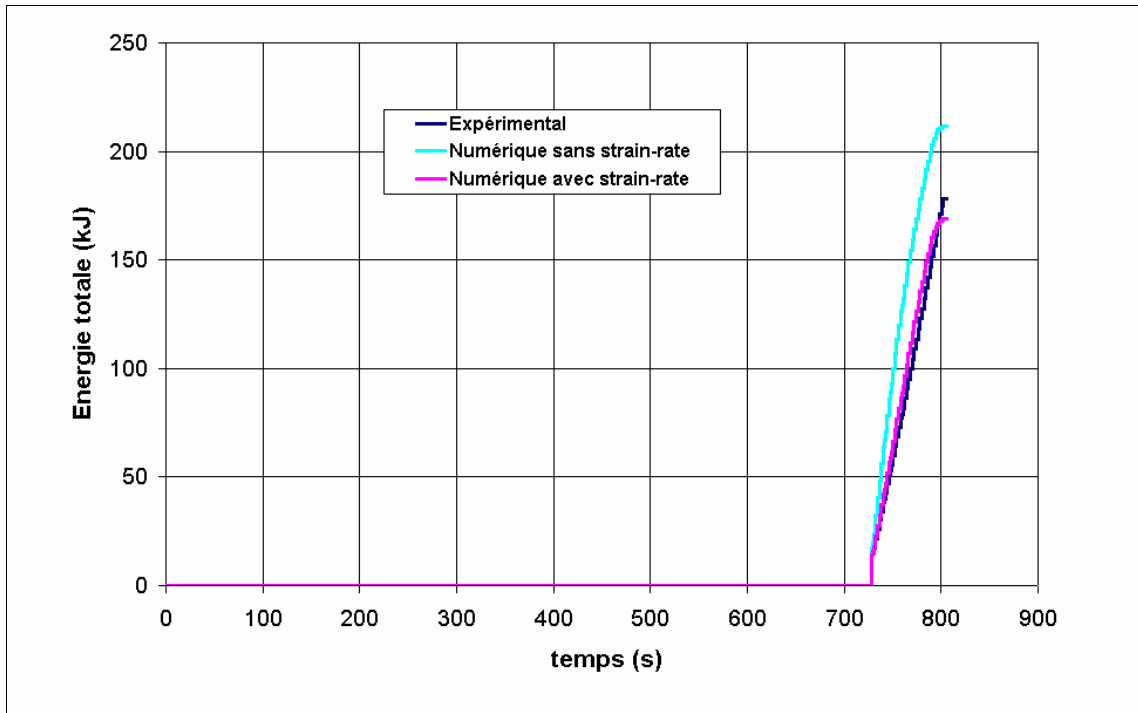


Figure 6.51. Energie totale dissipée cumulative à la fin de chaque cycle - phases statique et dynamique -

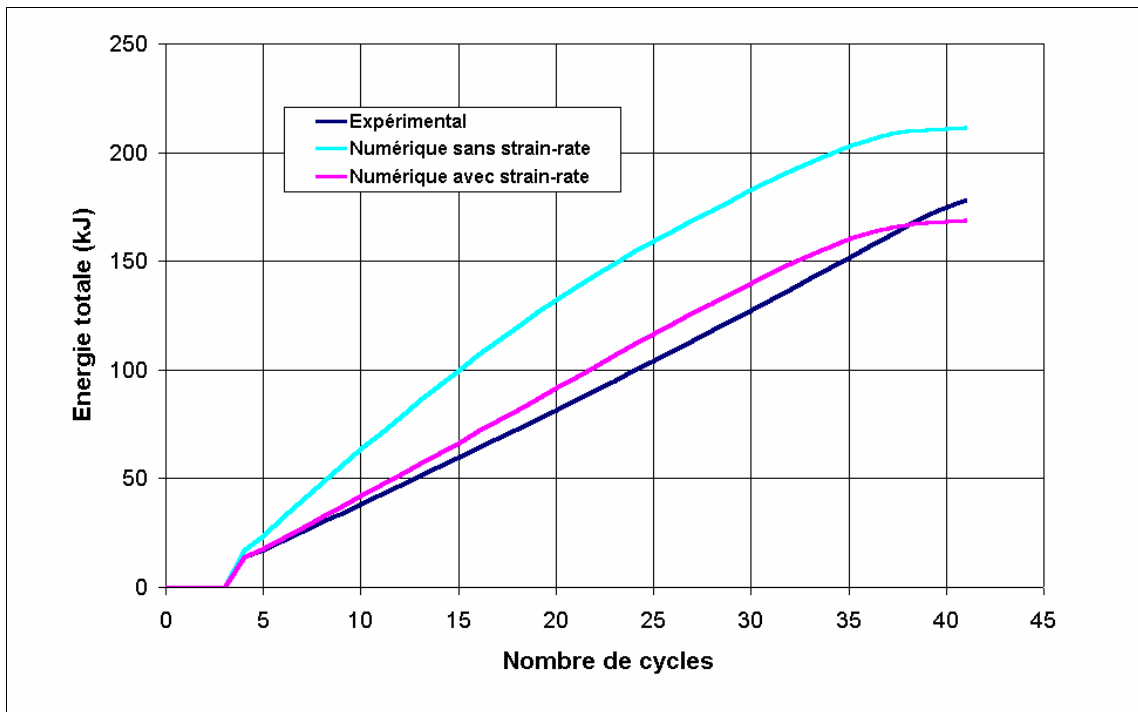


Figure 6.52. Energie totale dissipée cumulative à la fin de chaque cycle - phases statique et dynamique -

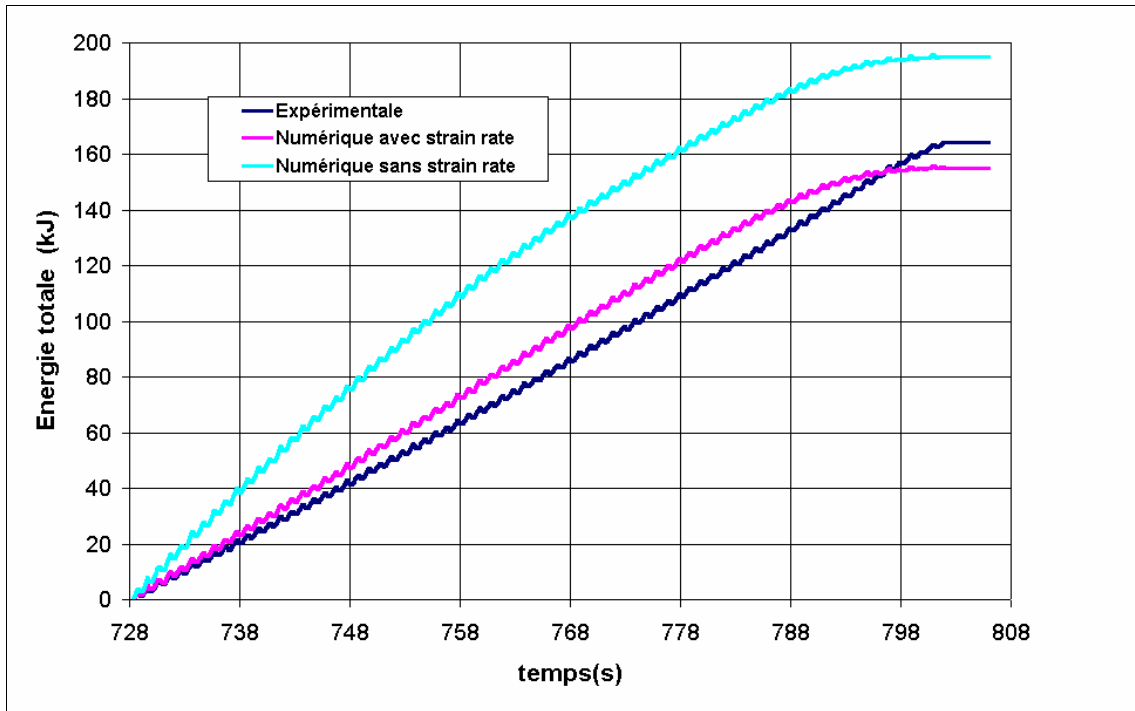


Figure 6.53. Energie totale dissipée cumulative
- phase dynamique -

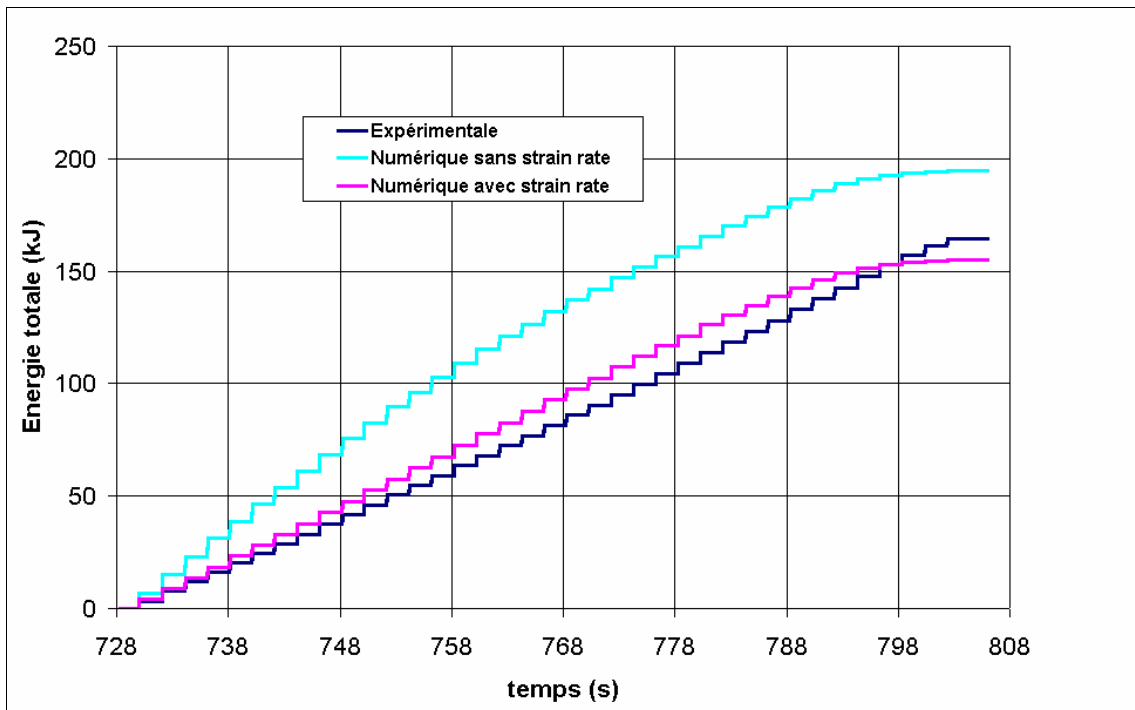


Figure 6.54. Energie totale dissipée cumulative à la fin de chaque cycle
- phase dynamique -

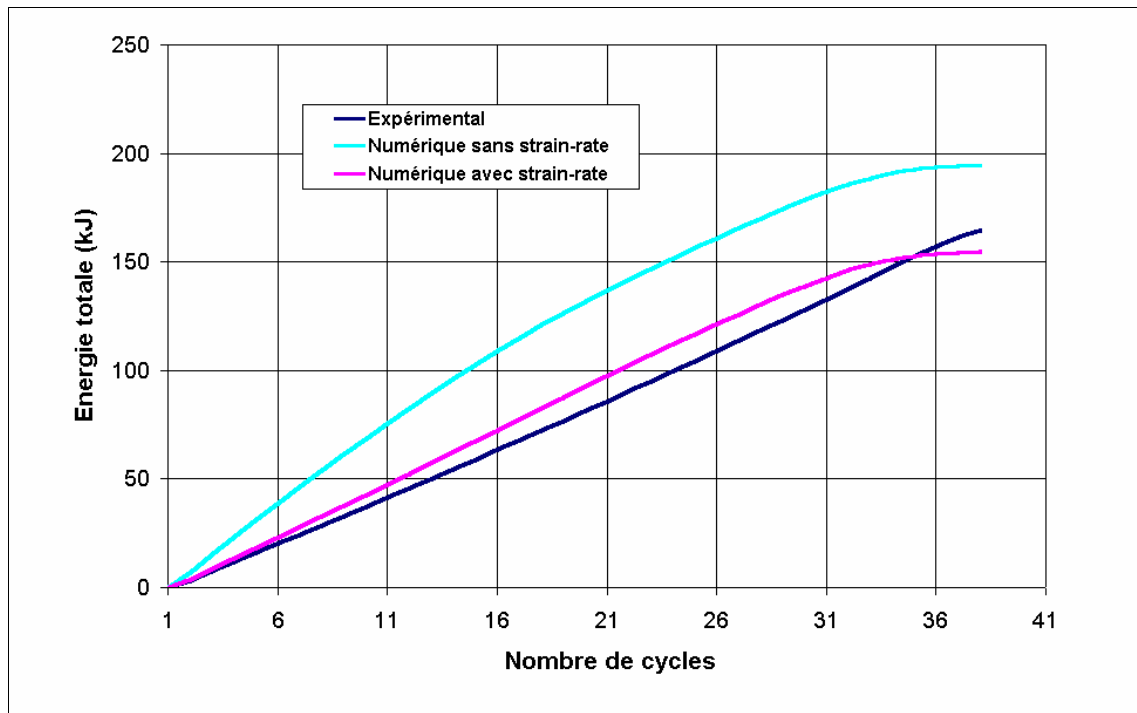


Figure 6.55. Energie totale dissipée cumulative à la fin de chaque cycle
- phase dynamique -

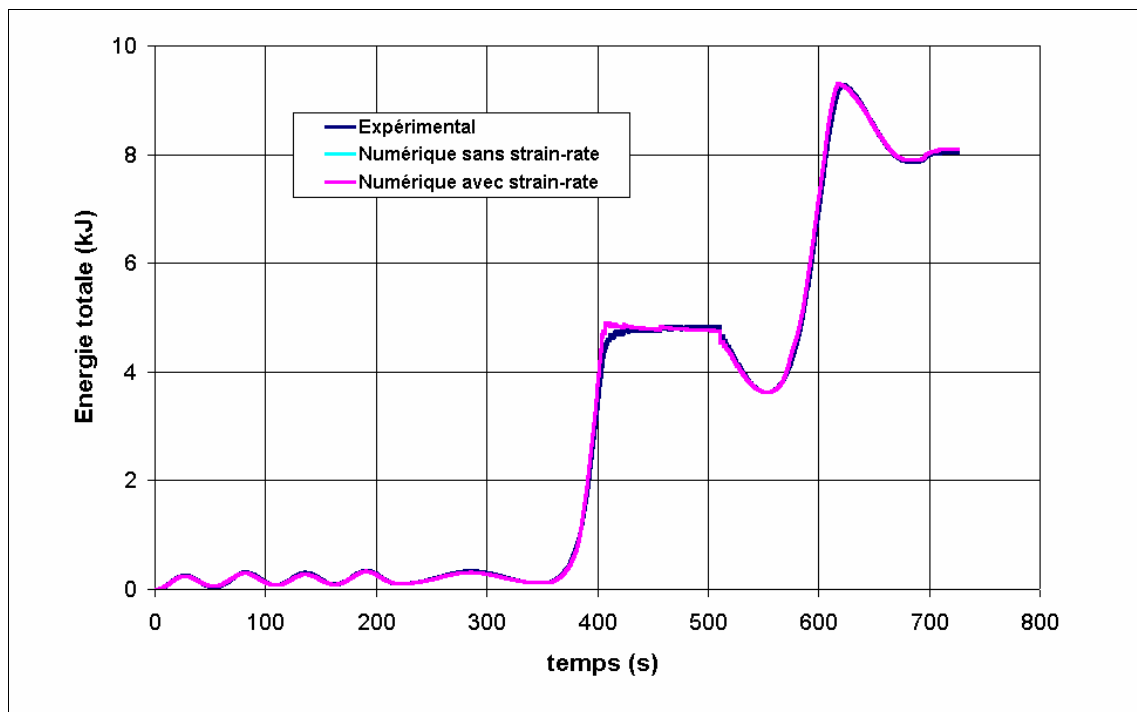


Figure 6.56. Energie totale dissipée cumulative
- phase statique -

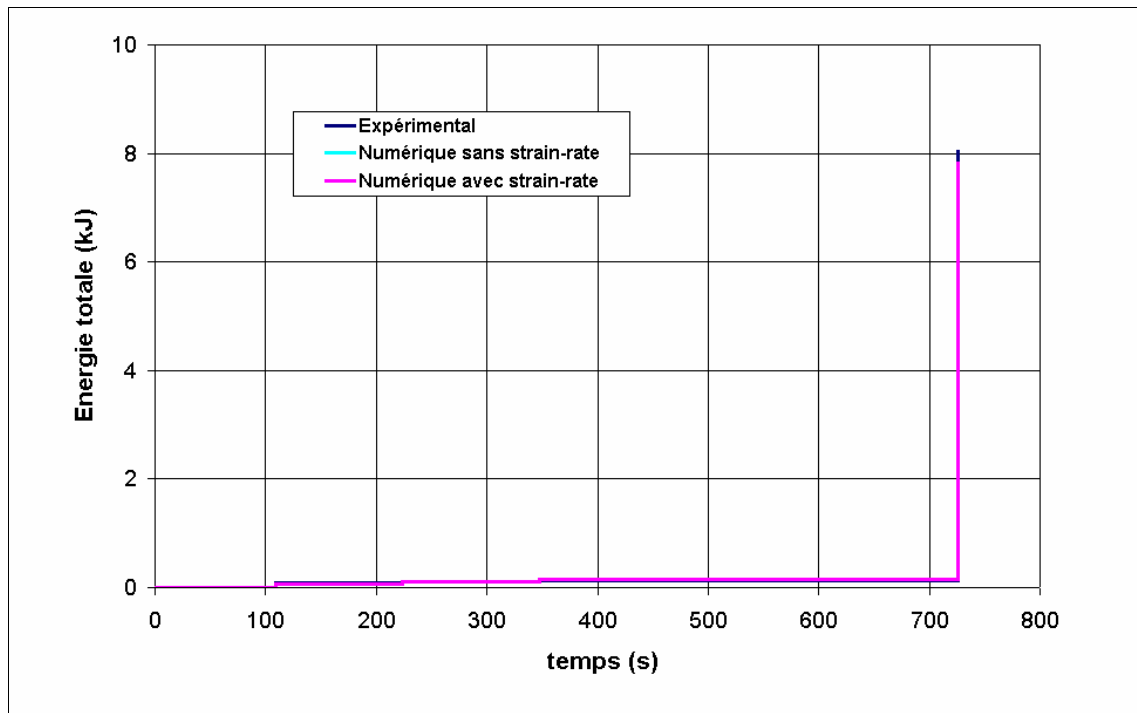


Figure 6.57. Energie totale dissipée cumulative à la fin de chaque cycle
- phase statique -

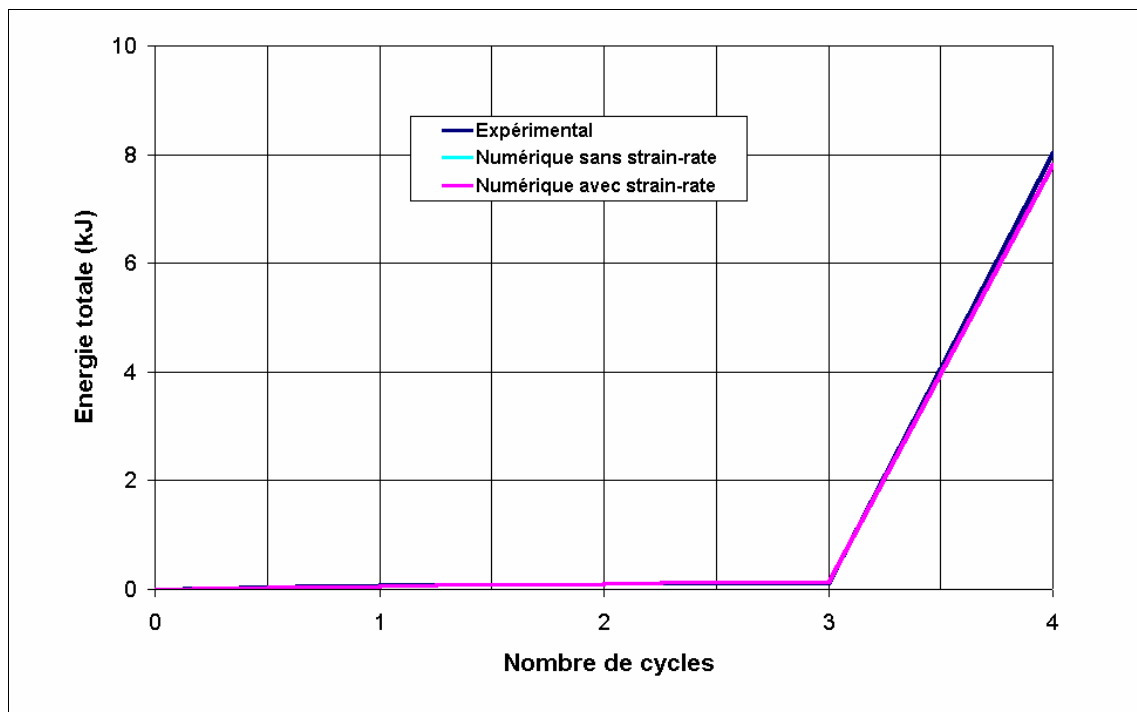


Figure 6.58. Energie totale dissipée cumulative à la fin de chaque cycle
- phase statique -

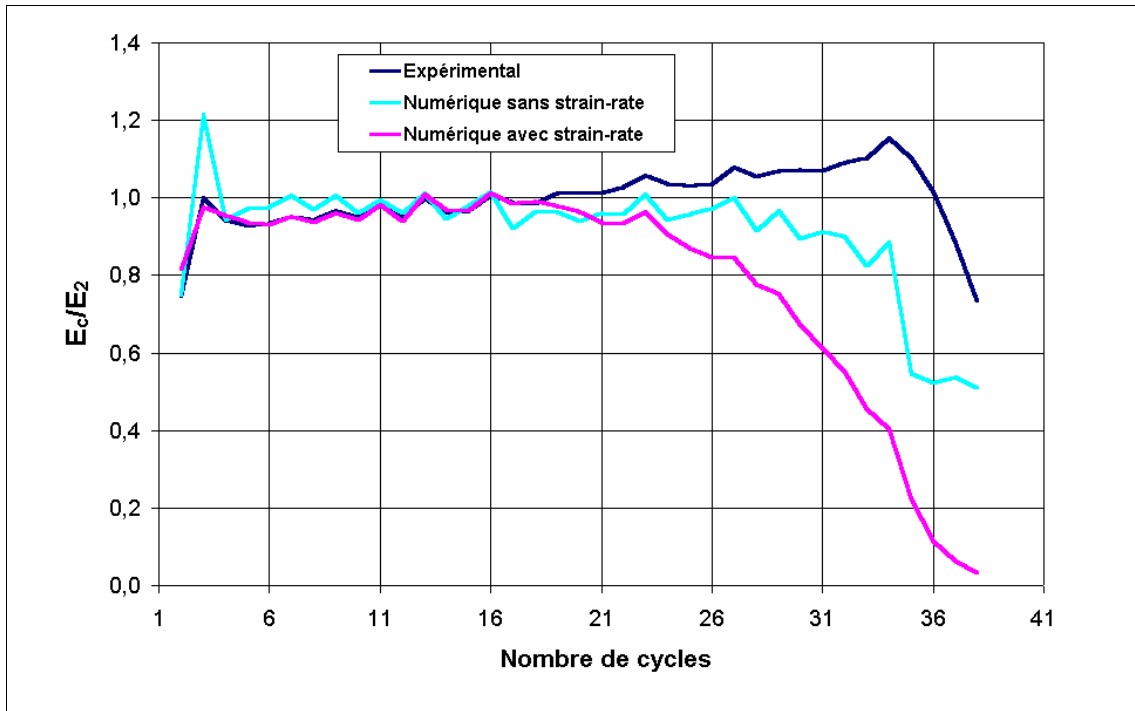


Figure 6.59. Energie normalisée dissipée dans chaque cycle
- phase dynamique -

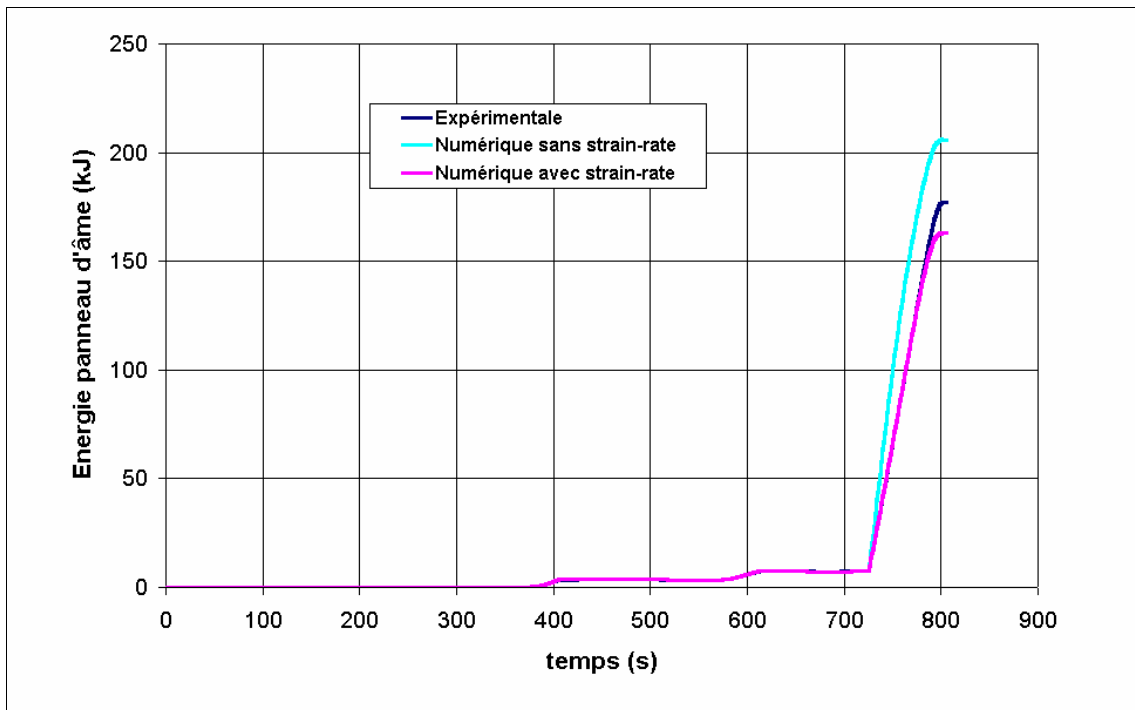


Figure 6.60. Energie dissipée cumulative dans le panneau d'âme
- phases statique et dynamique -

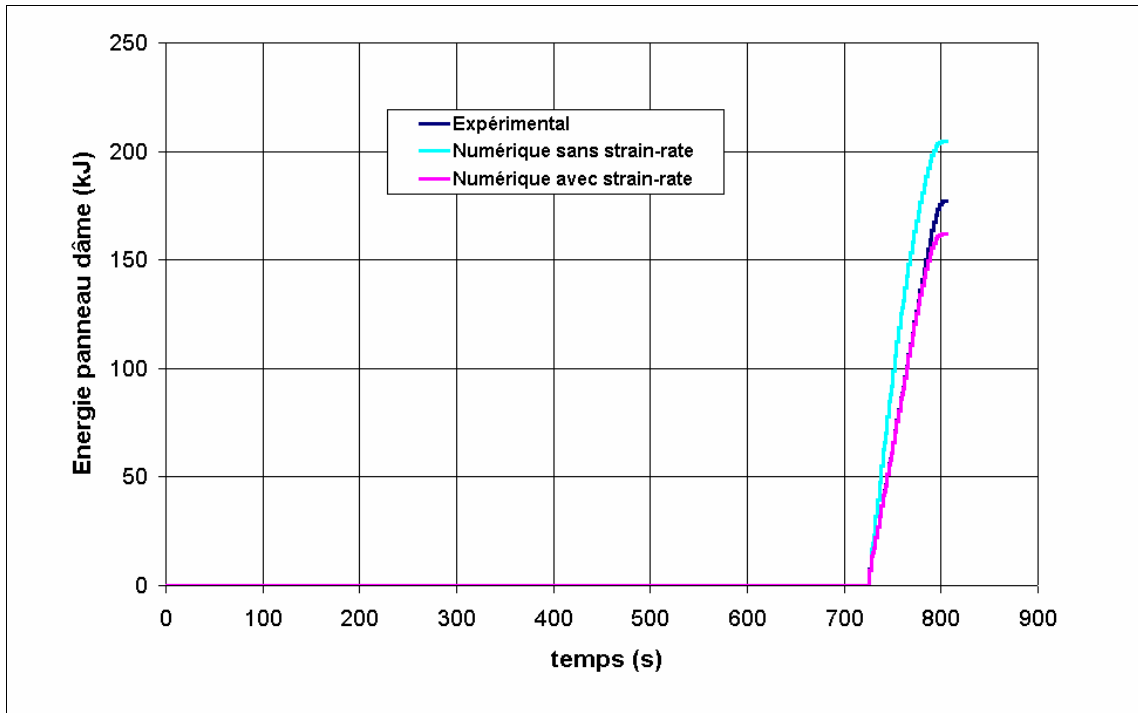


Figure 6.61. Energie dissipée cumulative à la fin de chaque cycle dans le panneau d'âme - phases statique et dynamique -

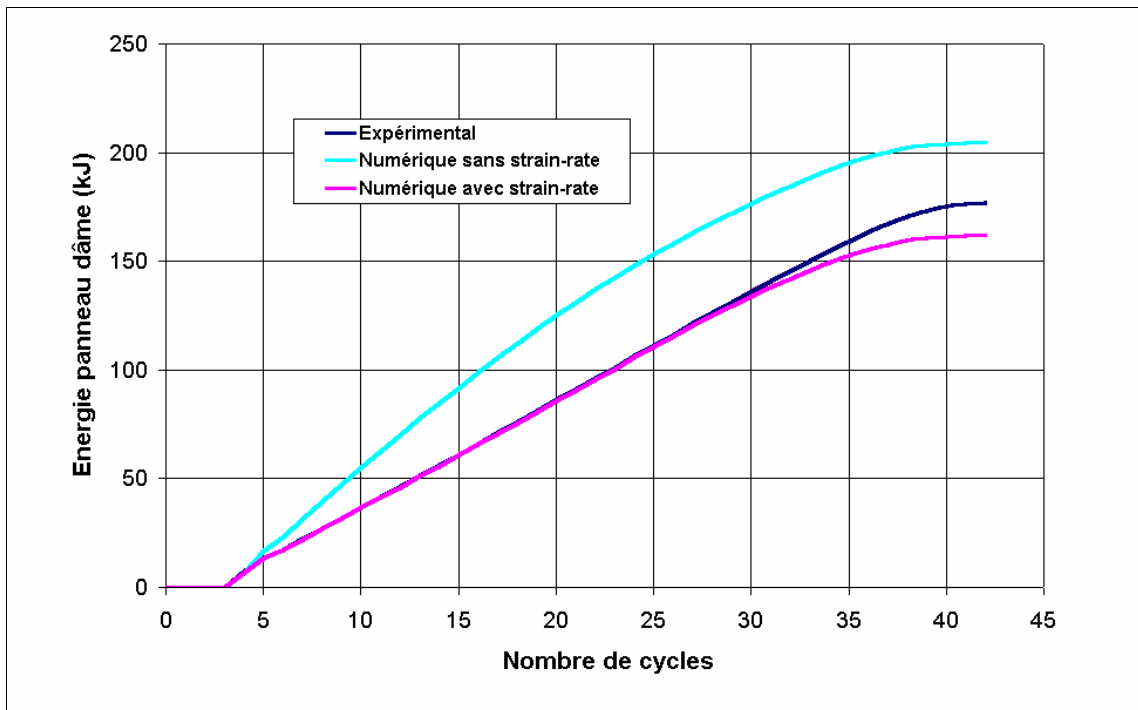


Figure 6.62. Energie dissipée cumulative à la fin de chaque cycle dans le panneau d'âme - phases statique et dynamique -

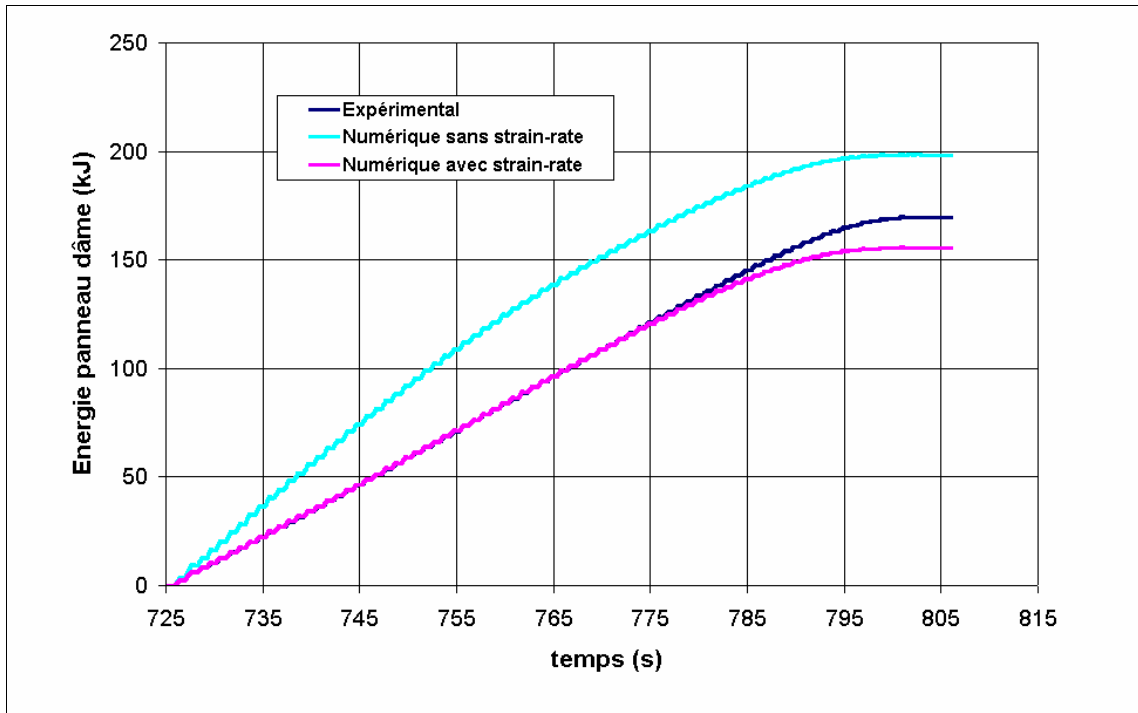


Figure 6.63. Energie dissipée cumulative dans le panneau d'âme
- phase dynamique -

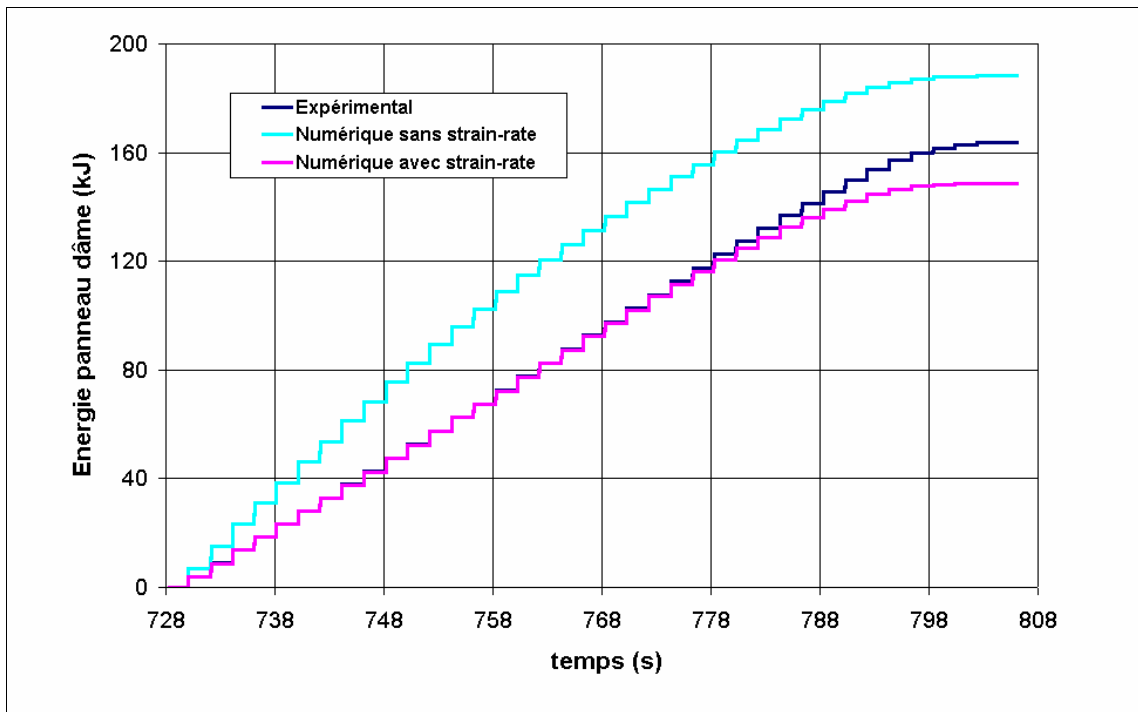


Figure 6.64. Energie dissipée cumulative à la fin de chaque cycle dans le panneau d'âme
- phase dynamique -

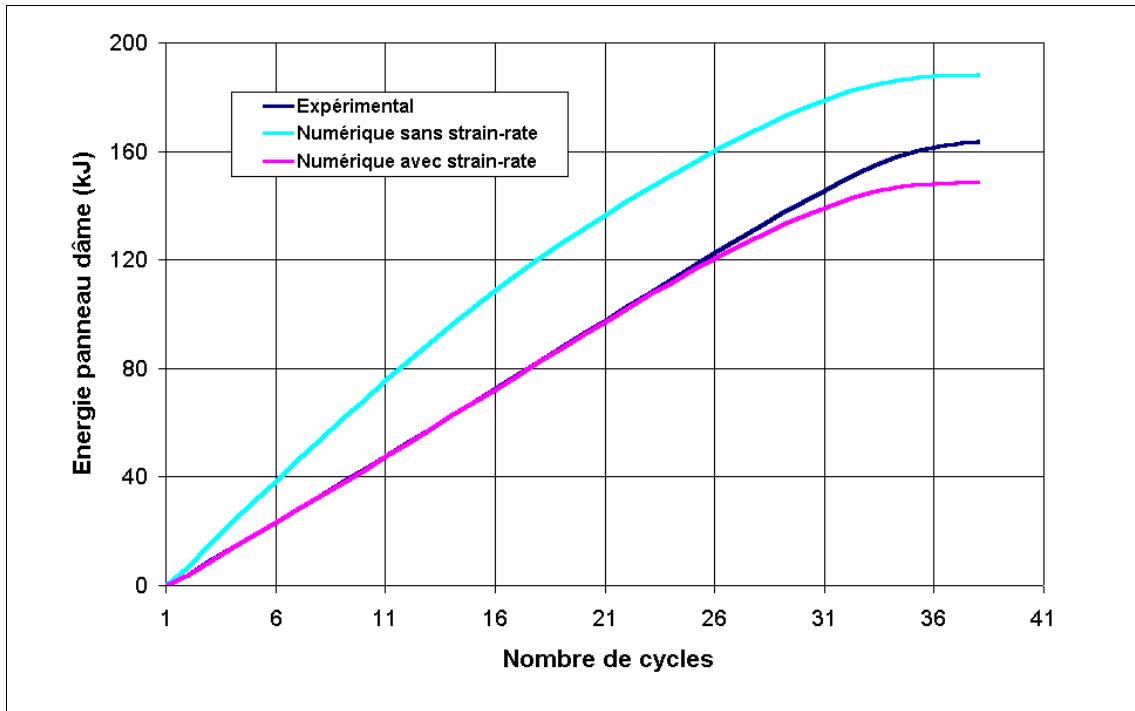


Figure 6.65. Energie dissipée cumulative à la fin de chaque cycle dans le panneau d'âme - phase dynamique -

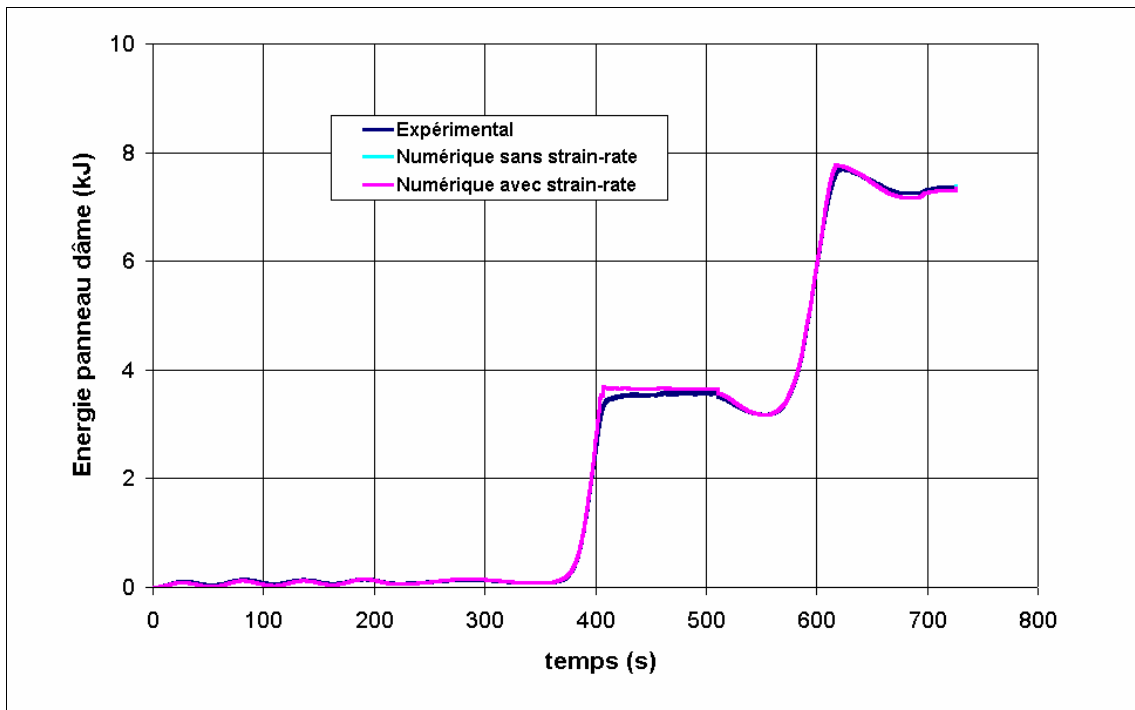


Figure 6.66. Energie dissipée cumulative dans le panneau d'âme - phase statique-

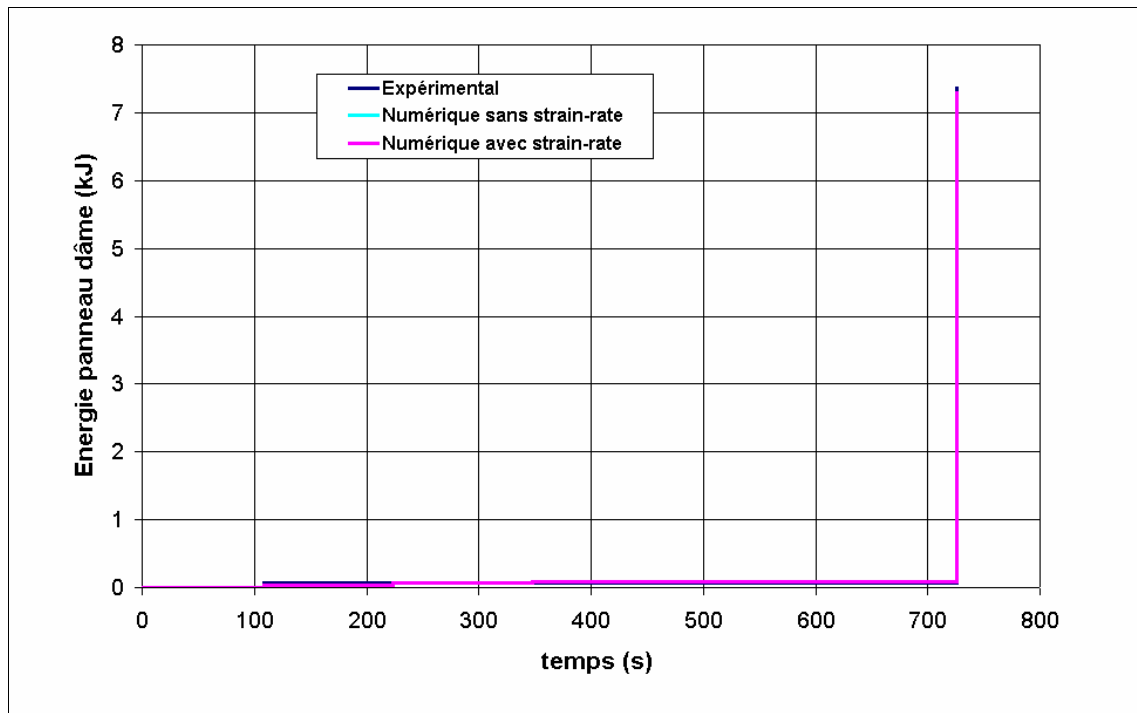


Figure 6.67. Energie dissipée cumulative à la fin de chaque cycle dans le panneau d'âme - phase statique -

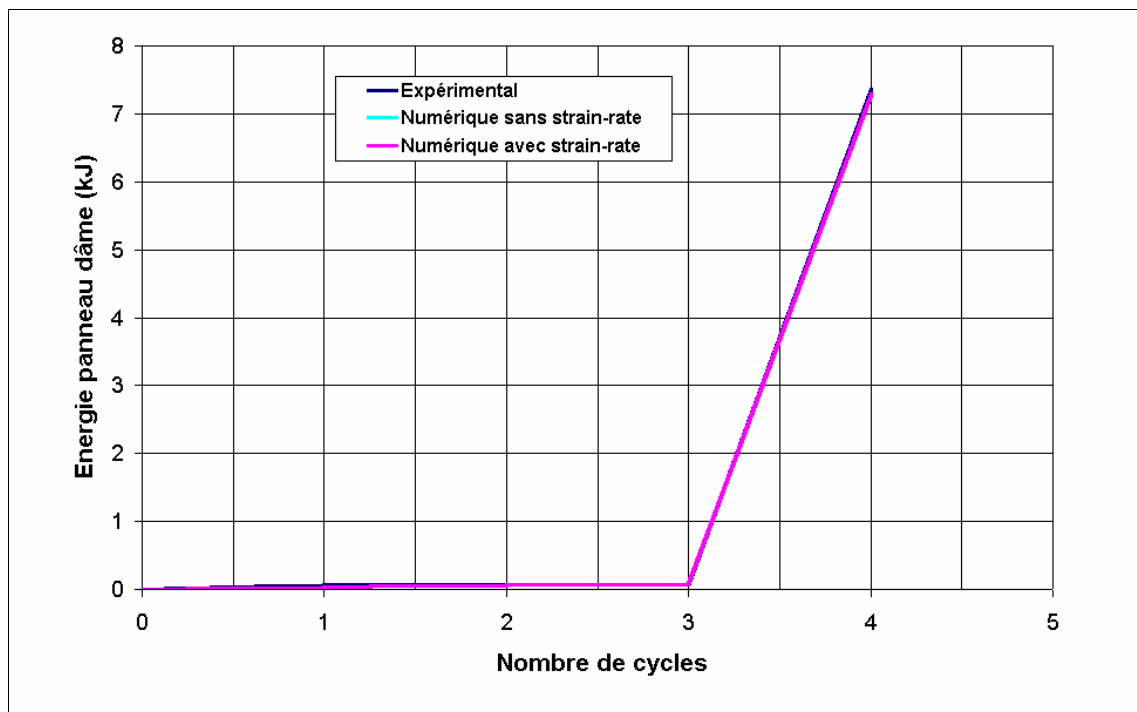


Figure 6.68. Energie dissipée cumulative à la fin de chaque cycle dans le panneau d'âme - phase statique -

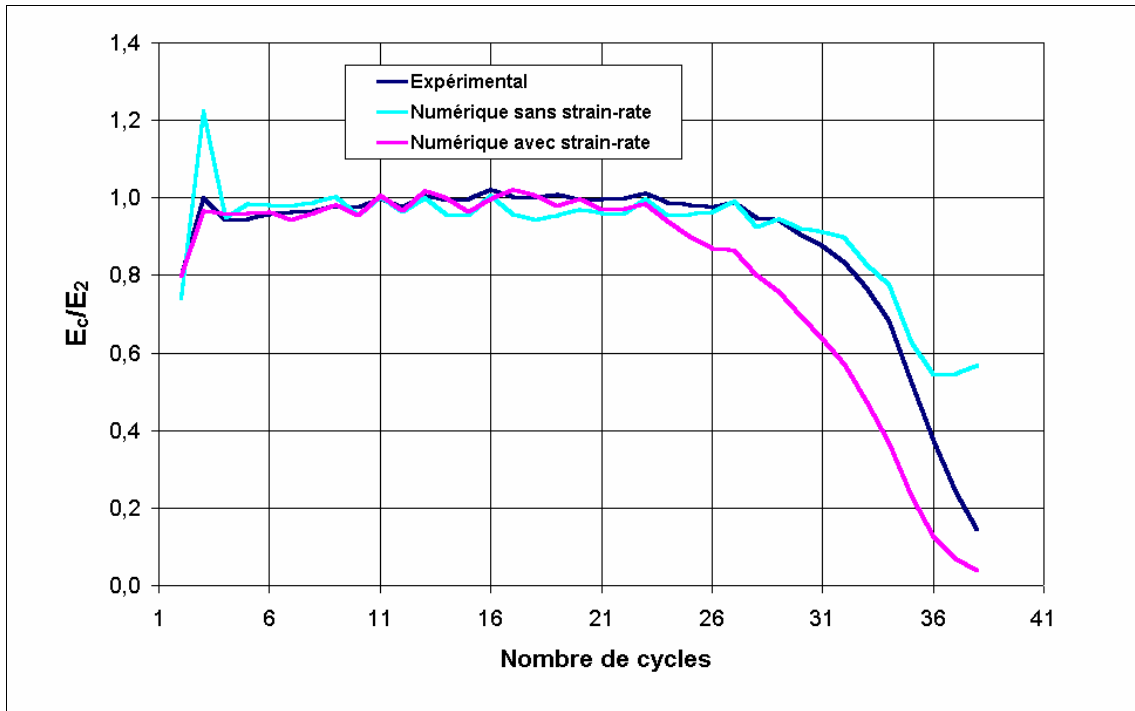


Figure 6.69. Energie normalisée dissipée par le panneau d'âme dans chaque cycle - phase dynamique -

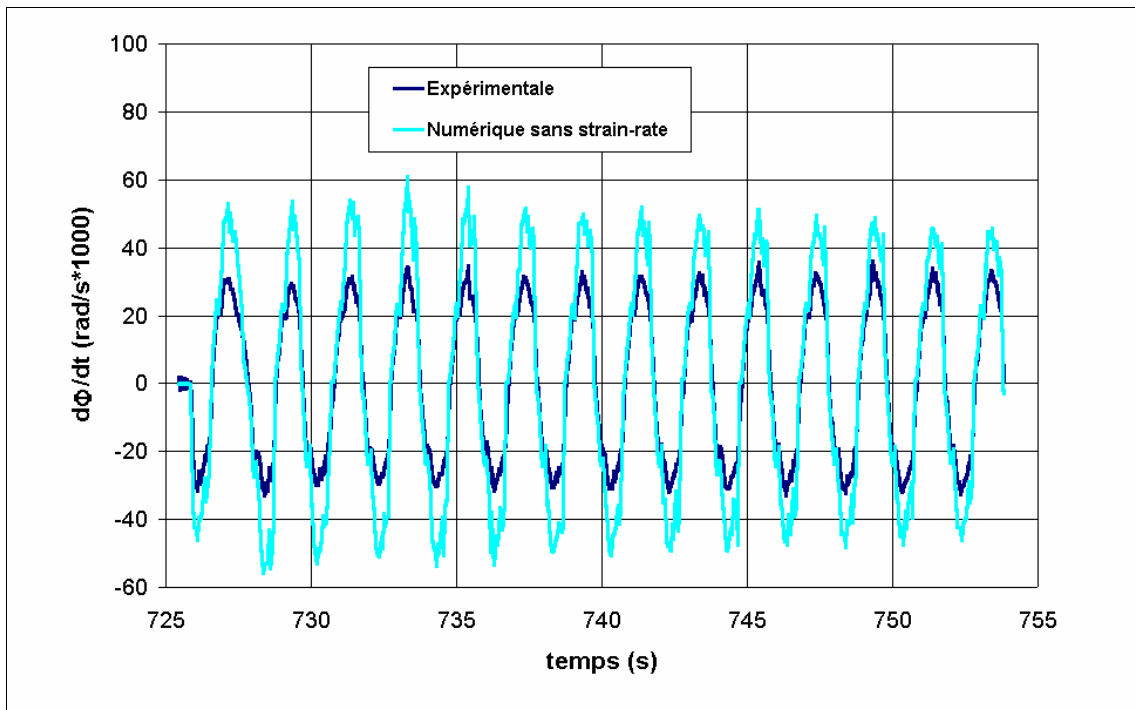


Figure 6.70. Vitesses de rotation du panneau d'âme - phase dynamique sans strain rate -

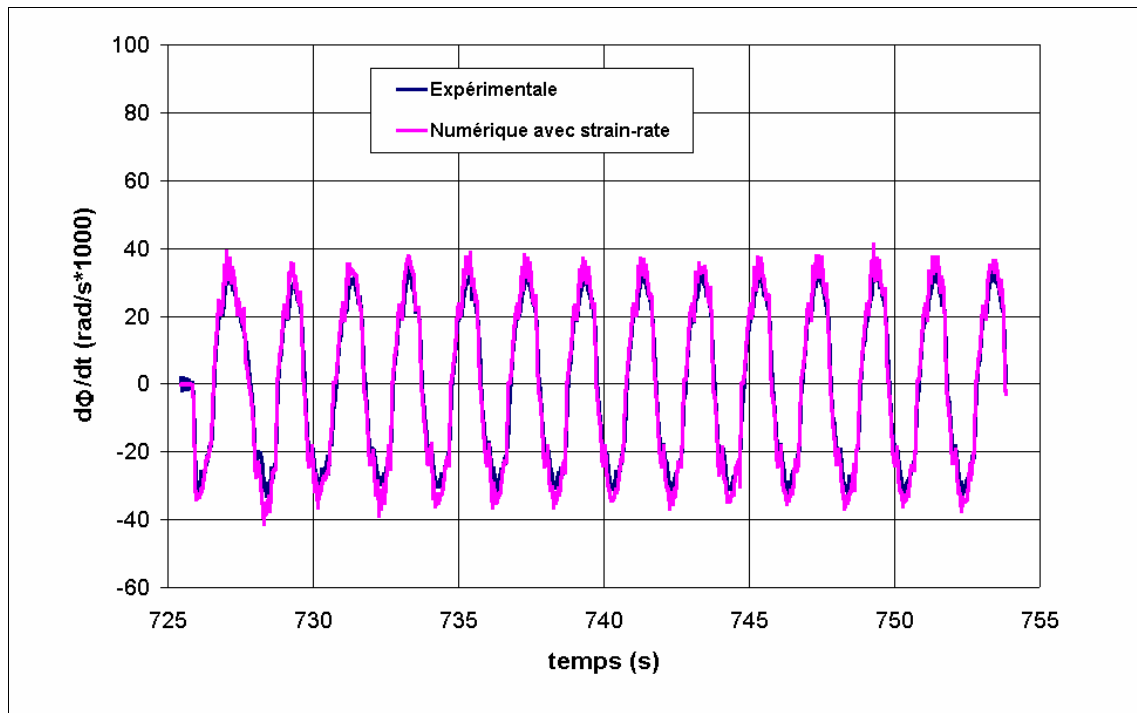


Figure 6.71. Vitesses de rotation du panneau d'âme
- phase dynamique avec strain rate -

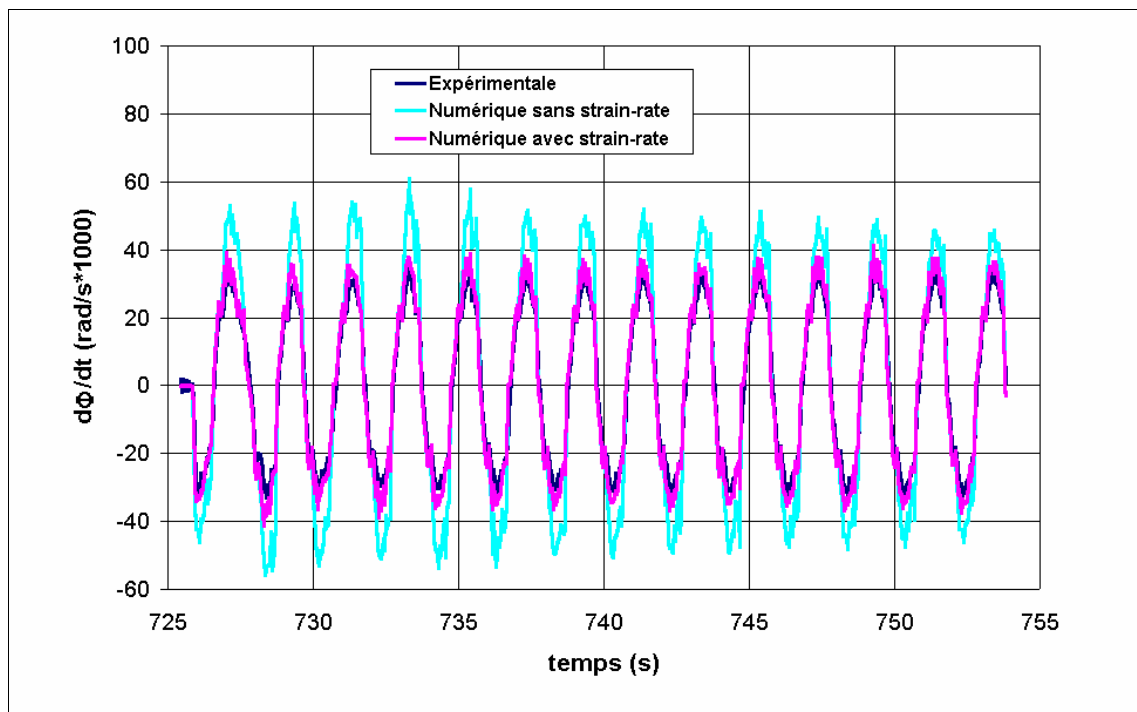


Figure 6.72. Vitesses de rotation du panneau d'âme
- phase dynamique avec et sans strain rate -

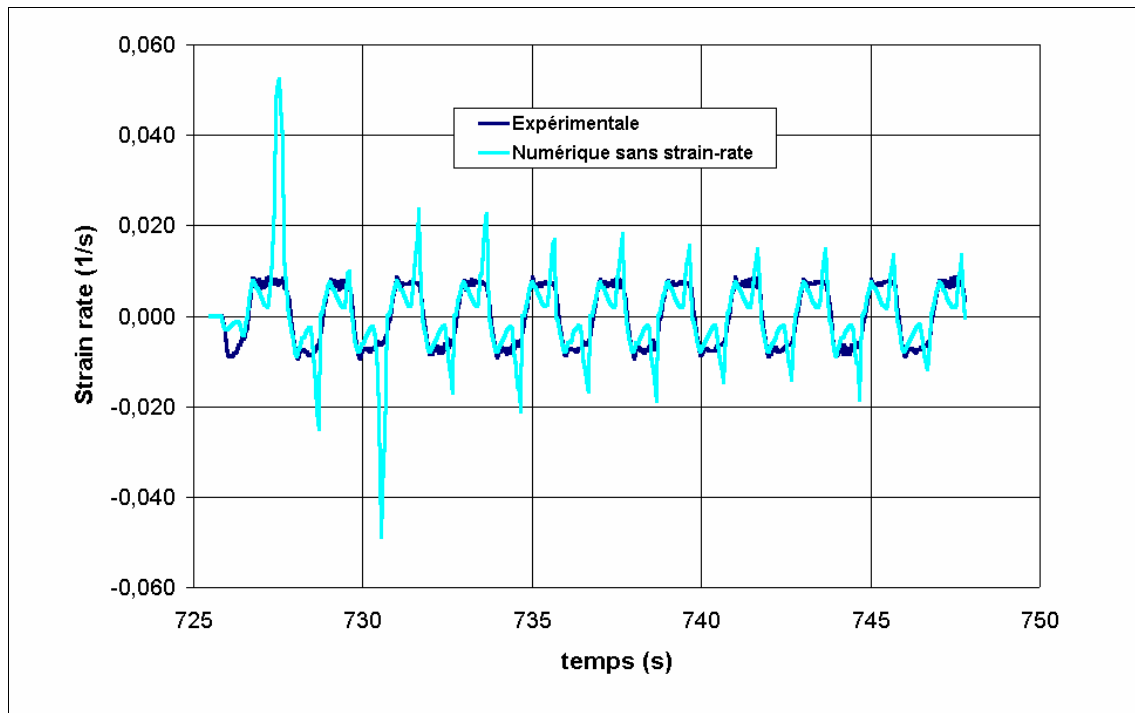


Figure 6.73. Vitesses de déformation dans la poutre jauges 1,2,3
- phase dynamique sans strain rate -

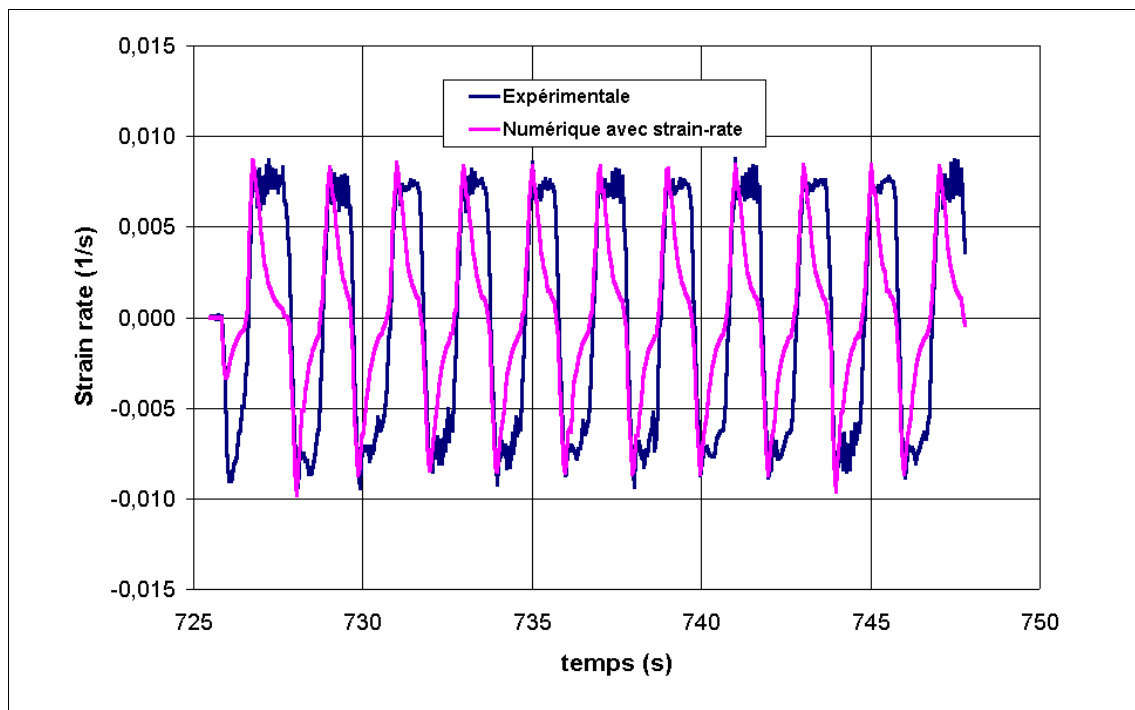


Figure 6.74. Vitesses de déformation dans la poutre jauges 1,2,3
- phase dynamique avec strain rate -

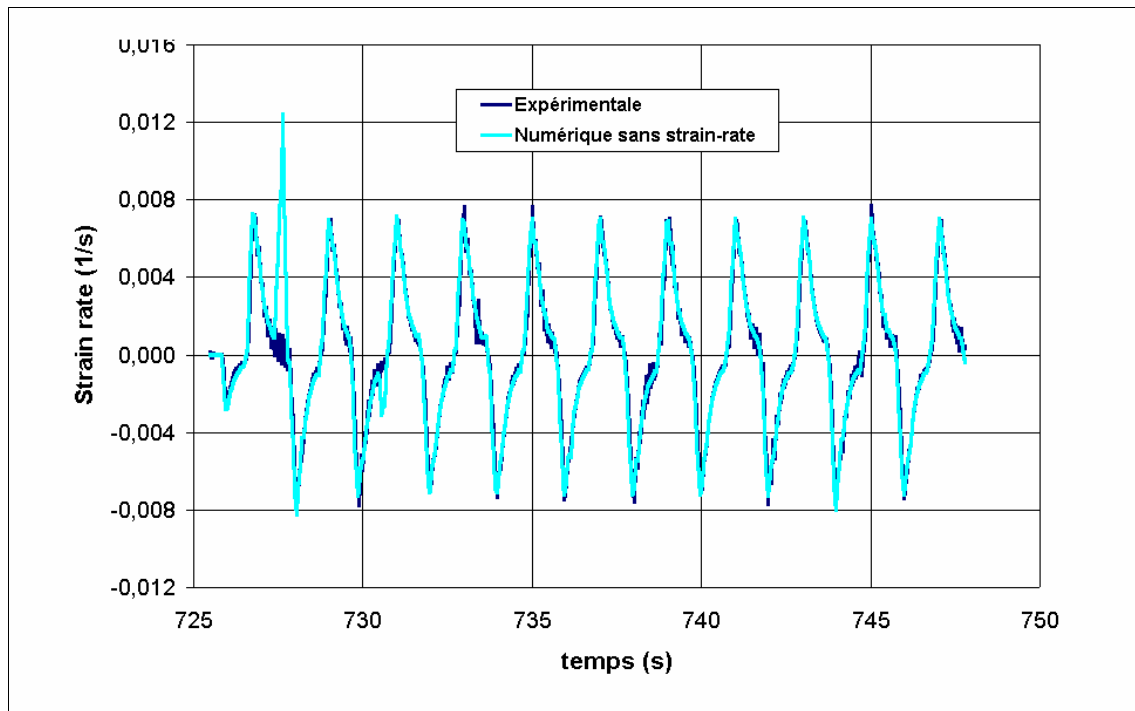


Figure 6.75. Vitesses de déformation dans la poutre jauge 4
- phase dynamique sans strain rate -

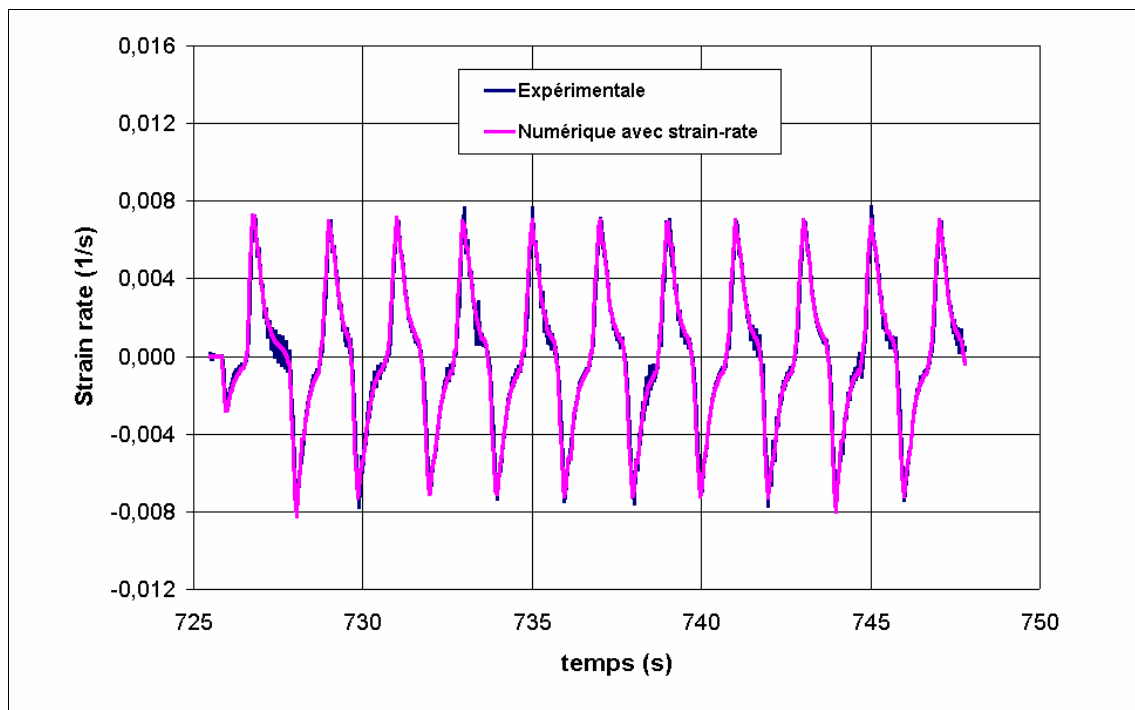


Figure 6.76. Vitesses de déformation dans la poutre jauge 4
- phase dynamique avec strain rate -

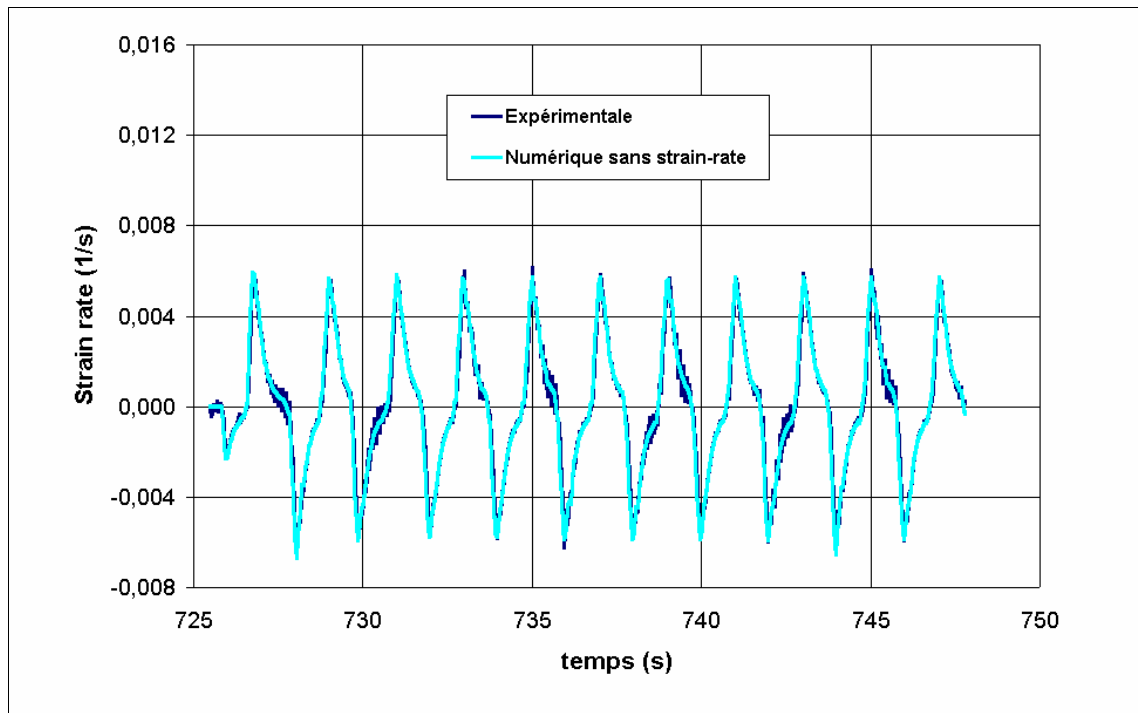


Figure 6.77. Vitesses de déformation dans la poutre jauge 5
- phase dynamique sans strain rate -

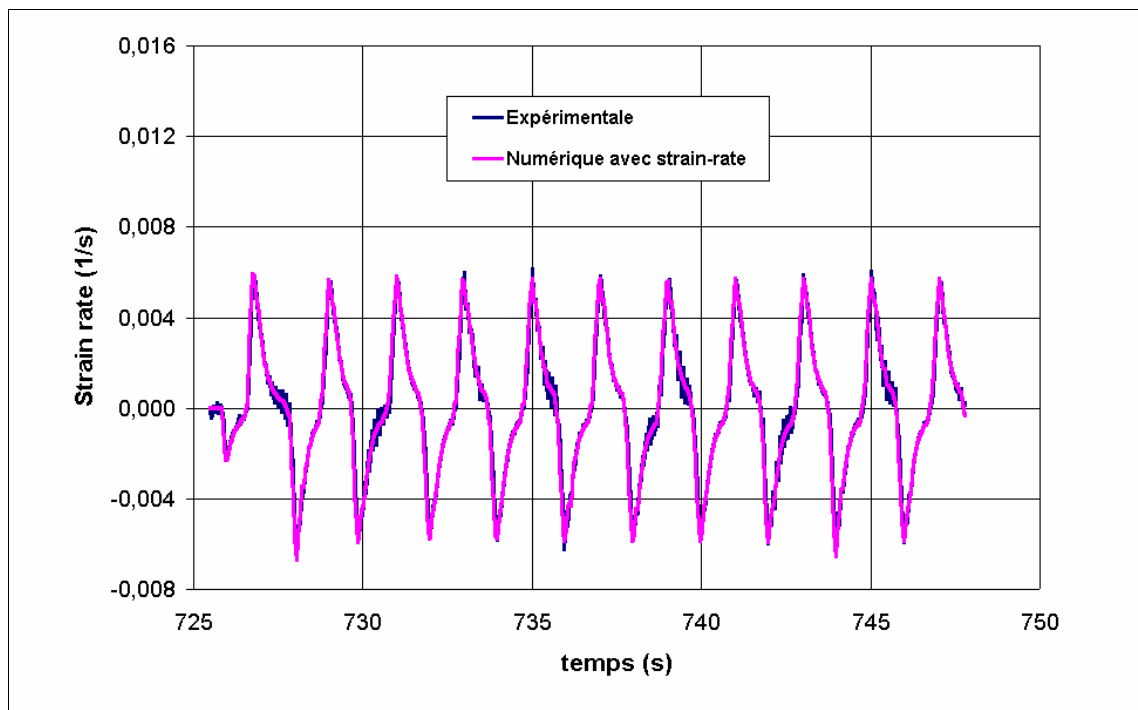


Figure 6.78. Vitesses de déformation dans la poutre jauge 5
- phase dynamique avec strain rate -

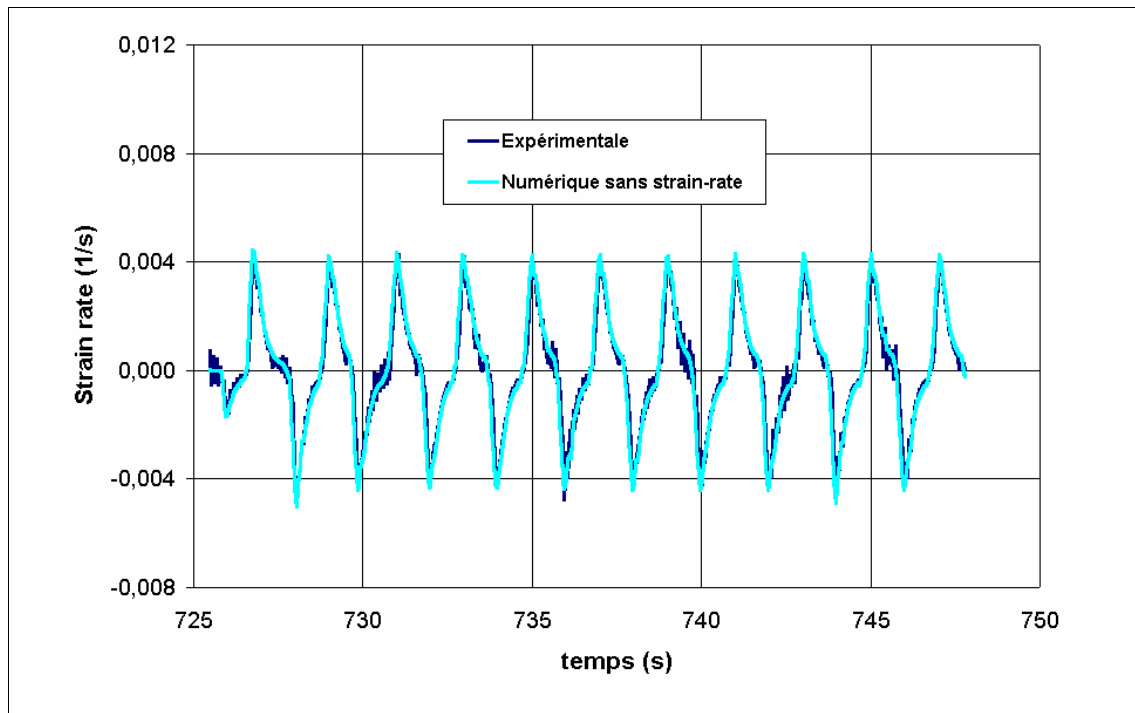


Figure 6.79. Vitesses de déformation dans la poutre jauge 6
- phase dynamique sans strain rate -

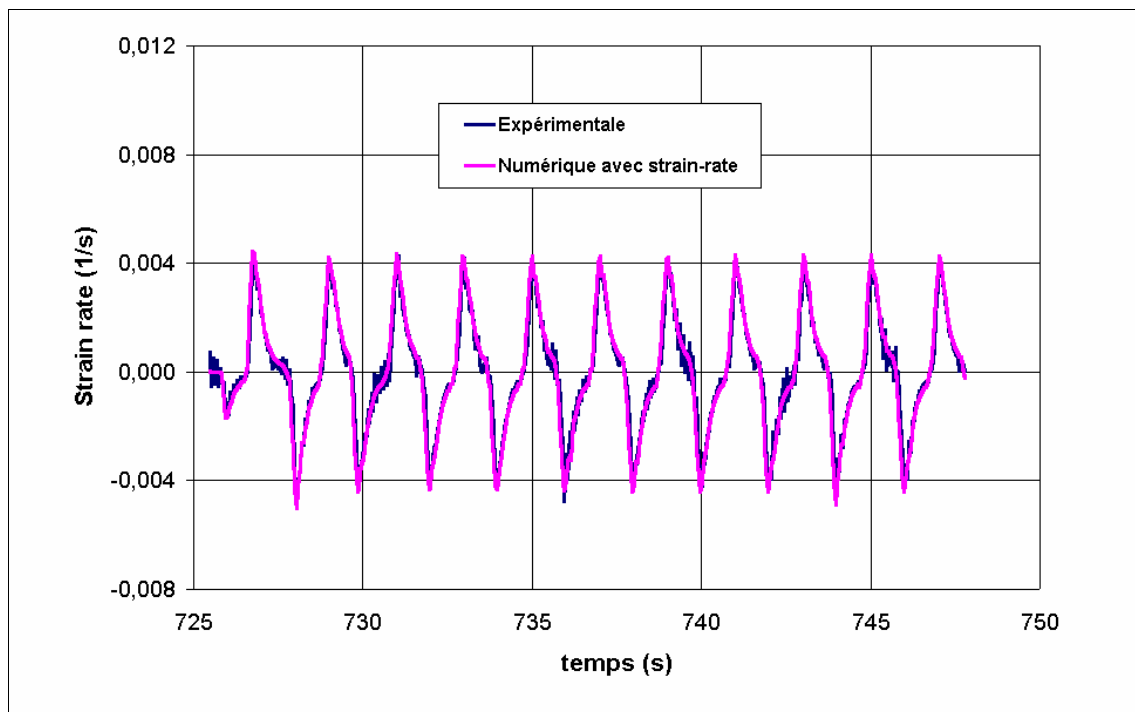


Figure 6.80. Vitesses de déformation dans la poutre jauge 6
- phase dynamique avec strain rate -

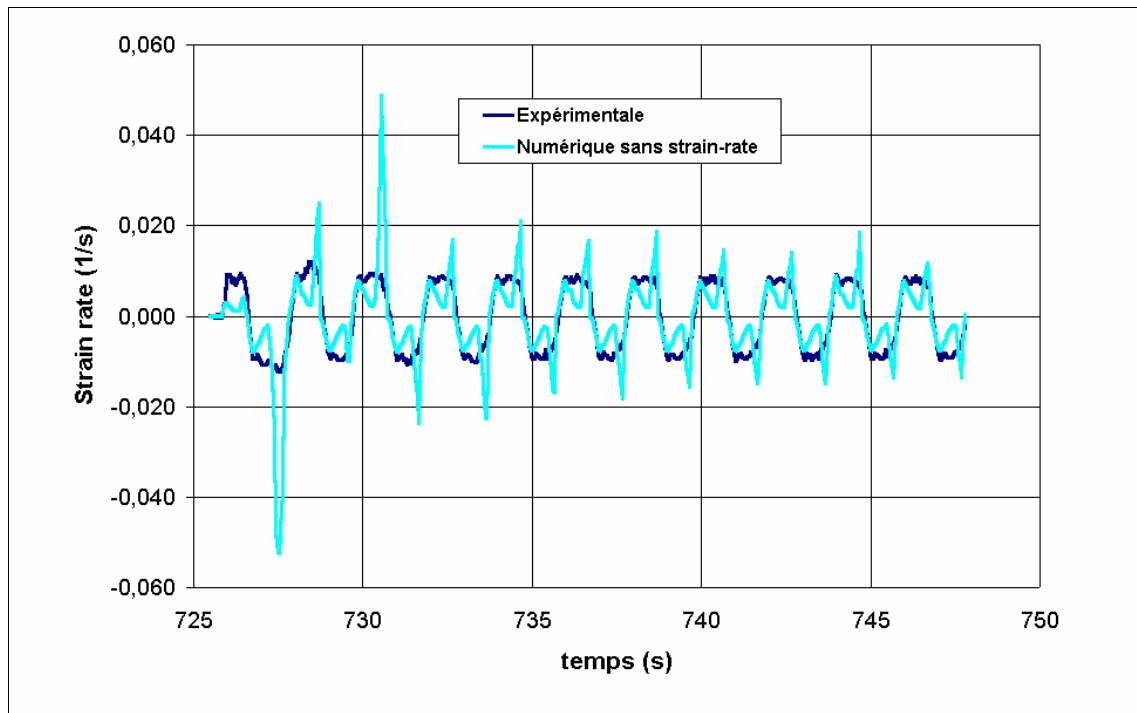


Figure 6.81. Vitesses de déformation dans la poutre jauges 7,8,9
- phase dynamique sans strain rate -

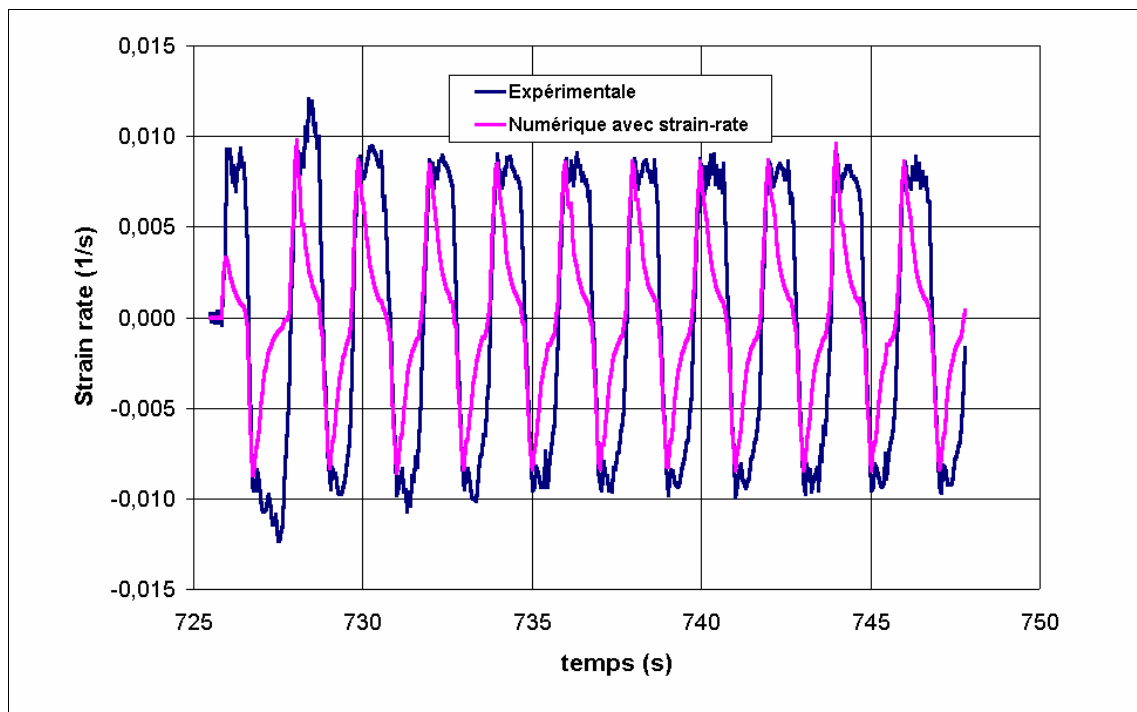


Figure 6.82. Vitesses de déformation dans la poutre jauges 7,8,9
- phase dynamique avec strain rate -

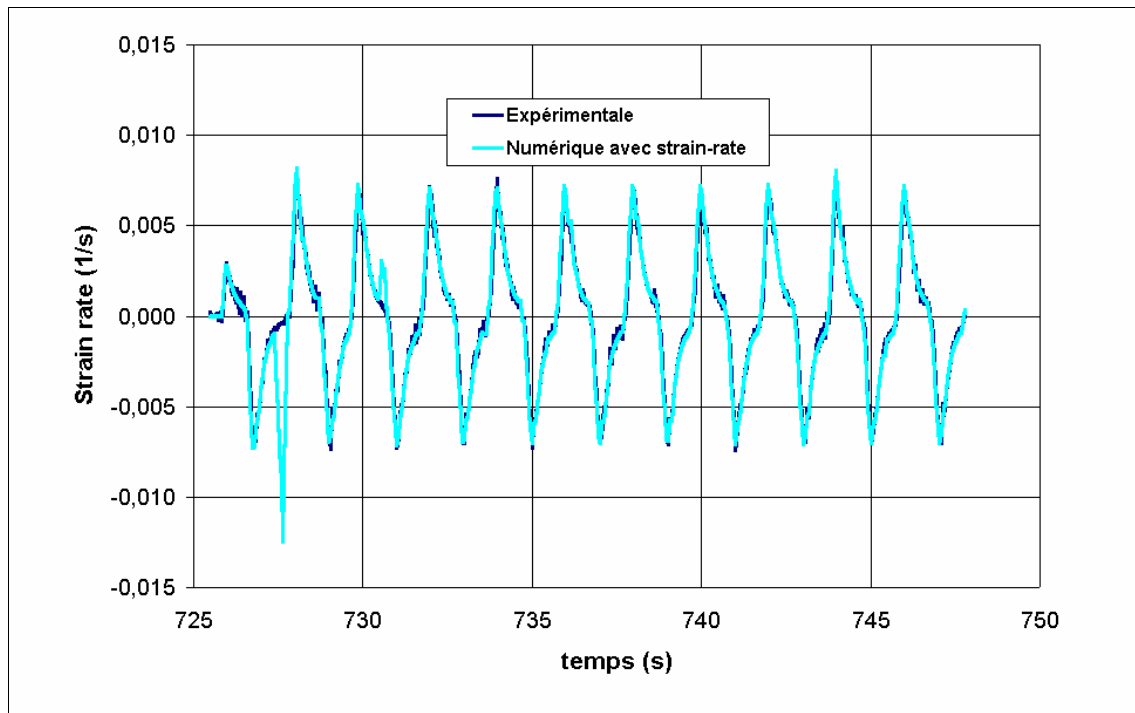


Figure 6.83. Vitesses de déformation dans la poutre jauge 10
- phase dynamique sans strain rate -

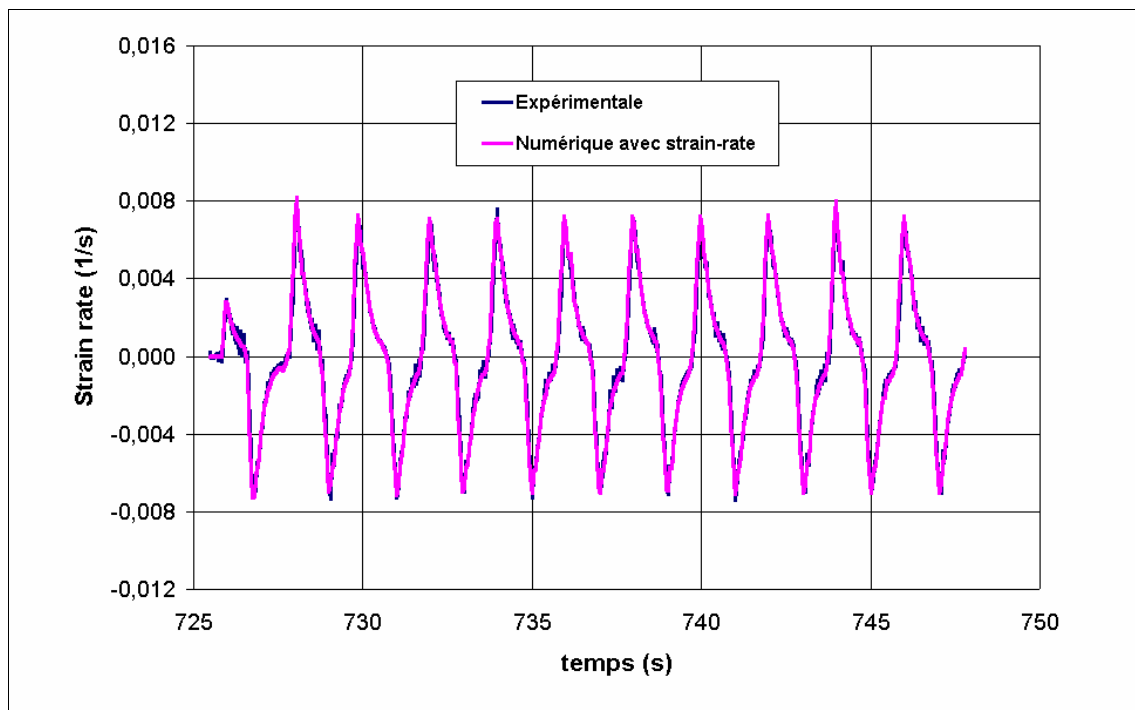


Figure 6.84. Vitesses de déformation dans la poutre jauge 10
- phase dynamique avec strain rate -

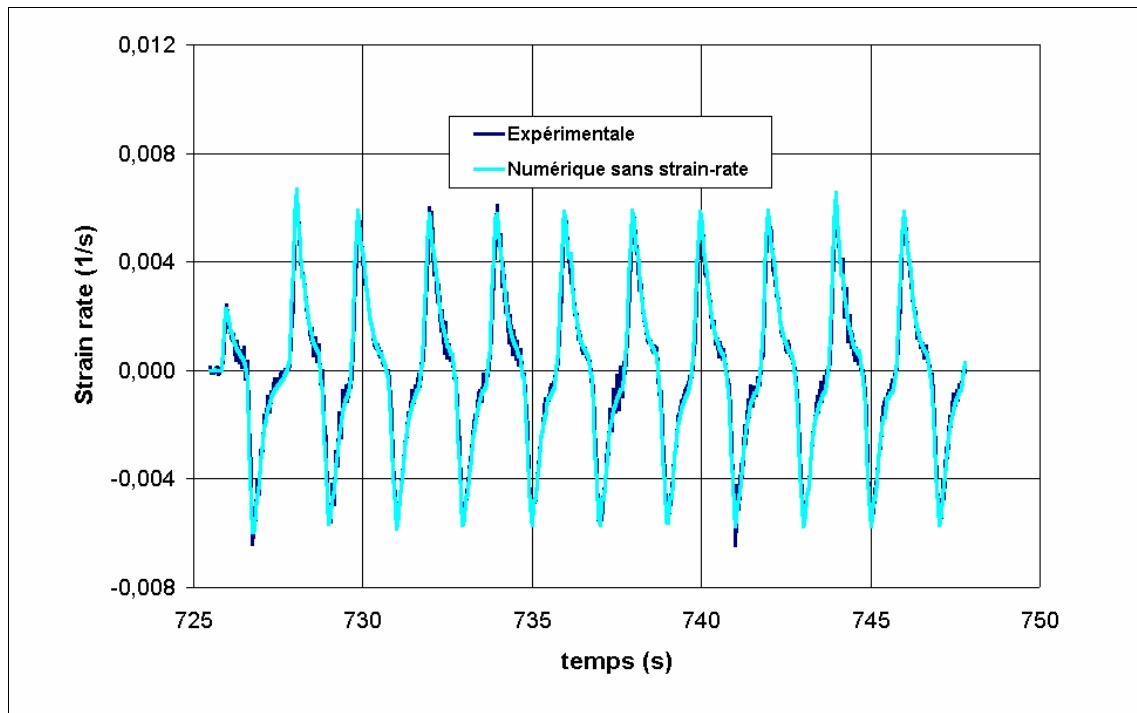


Figure 6.85. Vitesses de déformation dans la poutre jauge 11
- phase dynamique sans strain rate -

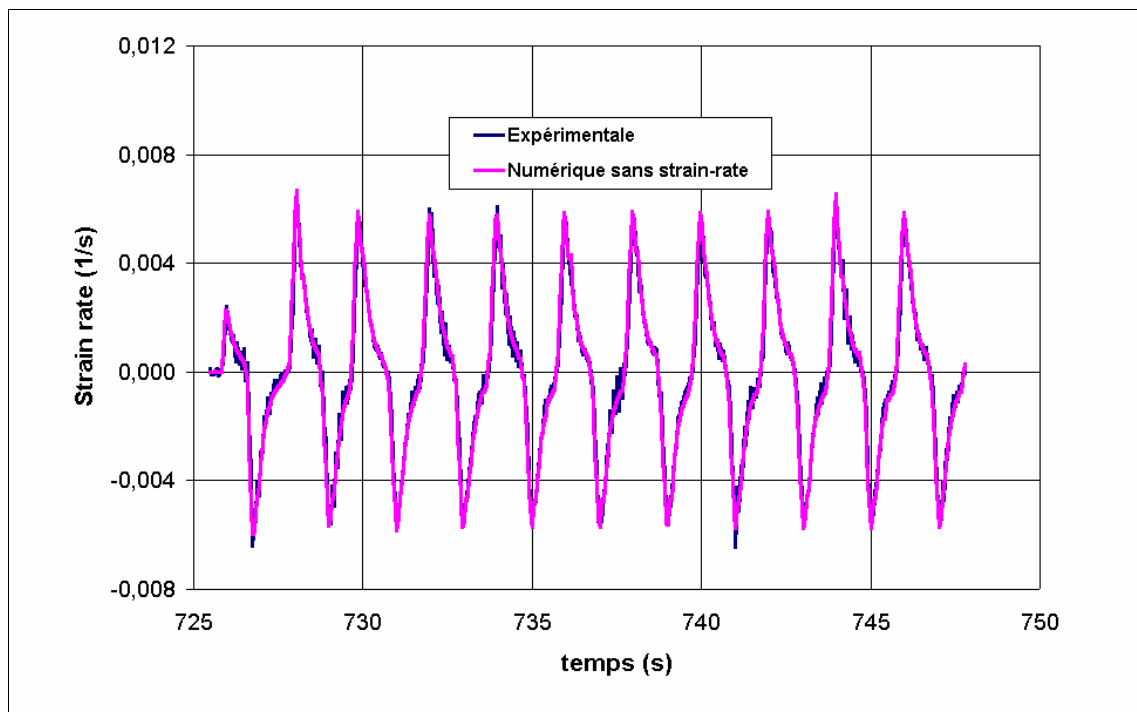


Figure 6.86. Vitesses de déformation dans la poutre jauge 11
- phase dynamique avec strain rate -

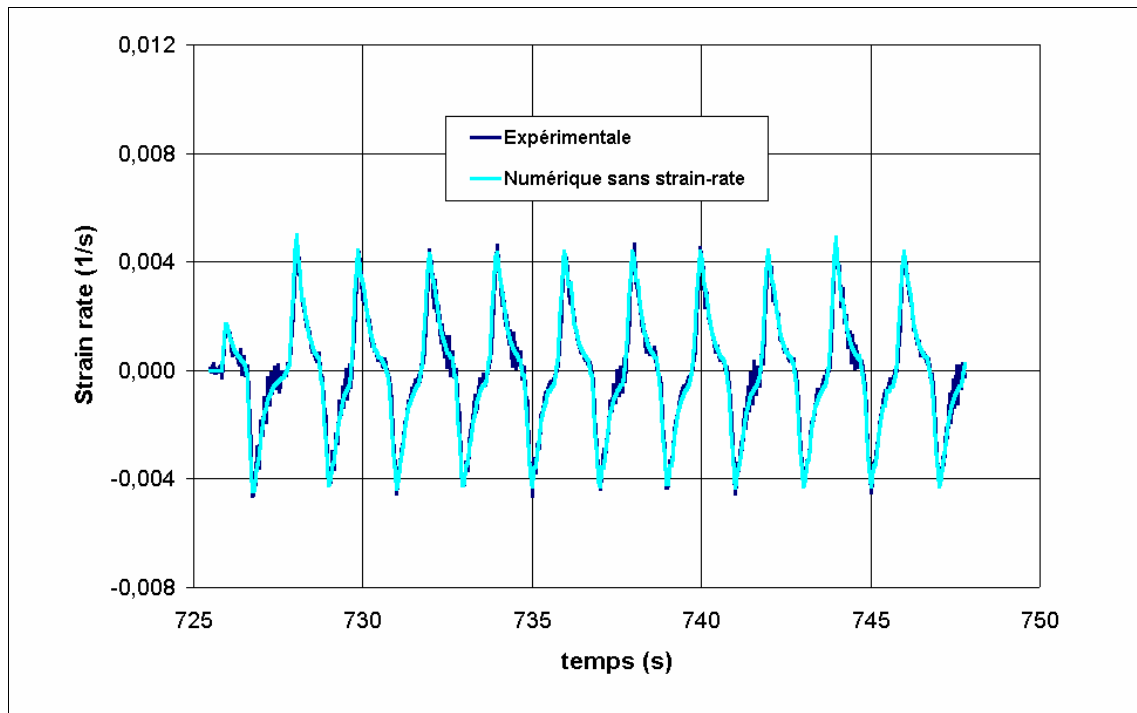


Figure 6.87. Vitesses de déformation dans la poutre jauge 12
- phase dynamique sans strain rate -

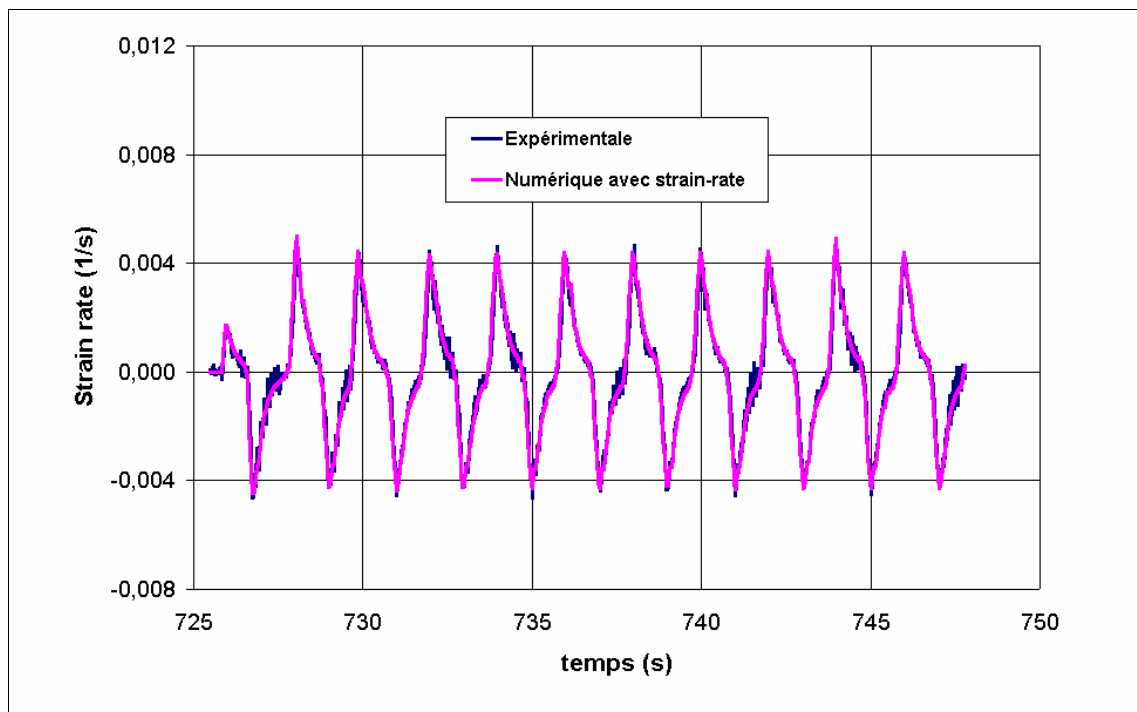


Figure 6.88. Vitesses de déformation dans la poutre jauge 12
- phase dynamique avec strain rate -